

# ET720 – Sistemas de Energia Elétrica I

## Capítulo 3 – Cálculo de curto-circuito

Carlos A. Castro

DSE/FEEC/UNICAMP

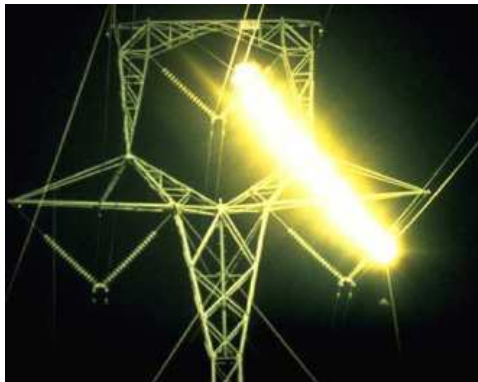
- Um sistema de potência está constantemente sujeito a ocorrências que causam distúrbios no seu estado normal

Estas perturbações alteram as grandezas elétricas (corrente, tensão, frequência), muitas vezes provocando violações nas restrições operativas

Nestes casos são necessárias ações preventivas e/ou corretivas para sanar ou limitar as suas consequências

## 1. Introdução

- As perturbações mais comuns e mais severas são os **curtos-circuitos** ou **faltas**



- Um **curto-circuito** corresponde à perda de isolamento entre fases ou entre fase(s) e terra

Essa perda de isolamento faz com que haja conexão entre dois pontos por uma impedância relativamente baixa

A existência dessa impedância pequena resulta na passagem de uma elevada corrente e, conseqüentemente, de afundamentos de tensão no sistema elétrico

Durante a falta ocorre a liberação localizada de uma considerável quantidade de energia que pode provocar grandes danos nas instalações elétricas, particularmente nos enrolamentos dos geradores e transformadores

- Quando ocorre um curto-circuito, a tensão da fonte (que modela o equivalente do sistema e/ou os geradores síncronos) é curto-circuitada através de uma impedância relativamente baixa (impedâncias da fonte + transformador + trecho da linha), resultando em correntes elevadas

Portanto, um **curto-circuito** é caracterizado por uma **elevação abrupta das correntes, acompanhada de quedas consideráveis das tensões**

## 1. Introdução

- Causas de curtos-circuitos:

Descrição	Código CEA	Incidência (%)		
		2007	2008	2009
Desconhecida/outras	0	8,91	15,77	14,88
Programada	1	N/C	N/C	N/C
Subtransmissão	2	0,97	1,22	1,00
Contatos de árvores	3	34,94	28,93	20,30
Descargas atmosféricas	4	16,68	8,75	2,15
Defeito de equipamentos	5	22,30	27,67	44,42
Clima adverso	6	4,23	5,60	3,39
Ambiente adverso	7	0,88	1,04	0,90
Elemento humano	8	0,49	0,29	0,62
Interferência externa	9	10,60	10,73	12,34
	<b>Total</b>	100,00	100,00	100,00

### Causas de curtos-circuitos

- Ao projetar um sistema, o objetivo básico é sempre fazê-lo com o lay-out otimizado, materiais de qualidade comprovada, e prevendo a execução da obra e a instalação de melhor qualidade
- No entanto, o sistema estará exposto às condições mais diversas e imprevisíveis, e falhas poderão ocorrer em pontos aleatórios da rede

### Causas de curtos-circuitos

- Problemas de isolamento – as tensões entre os condutores do sistema são elevadas, e rupturas para a terra ou entre os cabos poderão ocorrer por diversos motivos
  - Projeto inadequado da isolamento dos equipamentos, estruturas ou isoladores
  - Material empregado (inadequado ou de má qualidade) na fabricação
  - Problemas de fabricação
  - Envelhecimento do próprio material



### Causas de curtos-circuitos

- Problemas mecânicos – oriundos da natureza e que provocam ação mecânica
  - Ação do vento
  - Neve
  - Contaminação
  - Árvores
- Problemas elétricos – intrínsecos da natureza ou devidos à operação do sistema
  - Descargas atmosféricas diretas ou indiretas
  - Surtos de chaveamento (manobras)
  - Sobreensões

### Causas de curtos-circuitos

- Problemas de natureza térmica – aquecimento nos cabos e demais equipamentos, que além de diminuir a vida útil, prejudica a isolação
  - Sobrecorrentes em consequência de sobrecargas
  - Sobretensões
- Problemas de manutenção
  - Substituição inadequada de peças e equipamentos
  - Pessoal não treinado e qualificado
  - Peças de reposição inadequadas
  - Falta de controle de qualidade na compra do material
  - Inspeção inadequada na rede
  - Podas de árvores

### Causas de curtos-circuitos

- Problemas de outras naturezas
  - Atos de vandalismo
  - Atos de terrorismo
  - Queimadas
  - Inundações
  - Desmoronamentos

- A magnitude da corrente de falta depende de fatores como:
  - Tipo de curto-circuito (monofásico, trifásico, bifásico, franco, alta impedância)
  - Capacidade do sistema de geração
  - Topologia da rede elétrica
  - Tipo de aterramento do neutro dos equipamentos, etc.

## 1. Introdução

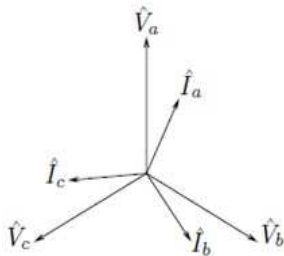
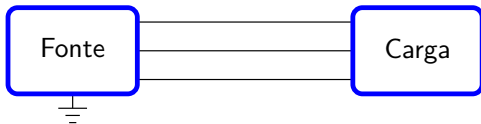
- A análise de **curto-circuito** é imprescindível tanto no **planejamento** como na **operação** e na **manutenção** de sistema de potência

Os resultados dessa análise possibilitam tomadas de várias decisões técnicas e/ou econômicas

- O conhecimento prévio dos valores de curtos-circuitos numa rede elétrica é necessário para **estudos e análises** envolvendo:
  - Determinação da capacidade de interrupção dos equipamentos de chaveamento (disjuntores e fusíveis)
  - Cálculos de ajustes dos relés de proteção
  - Seleção de reatores limitadores de corrente
  - Cálculo de esforço mecânico nas estruturas dos equipamentos
  - Cálculos da malha de aterramento

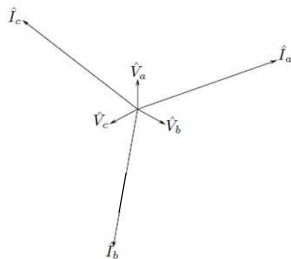
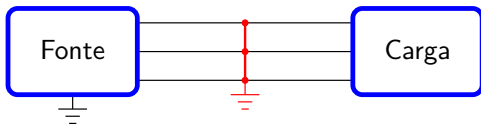
## 1. Introdução

- Operação normal



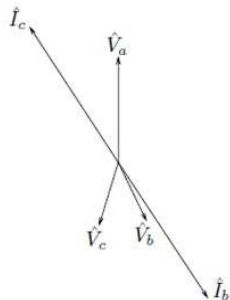
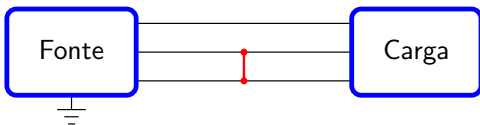
## 1. Introdução

- Curto-circuito trifásico ou simétrico



## 1. Introdução

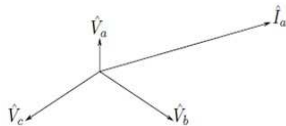
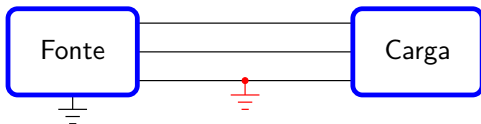
- Curto-circuito bifásico (fase-fase)



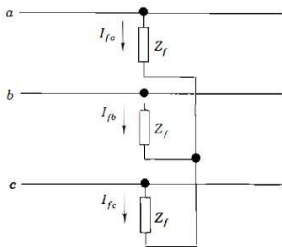


## 1. Introdução

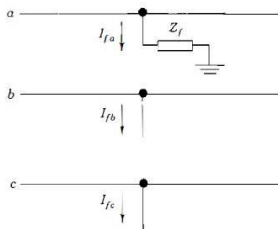
- Curto-circuito monofásico (fase-terra)



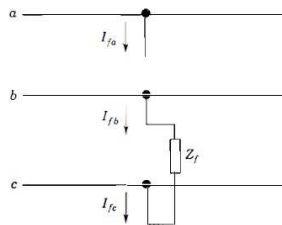
## 1. Introdução



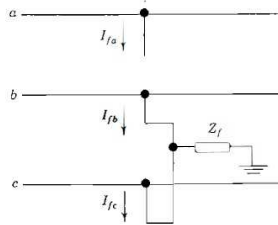
(a) Three-phase fault



(b) Single line-to-ground fault

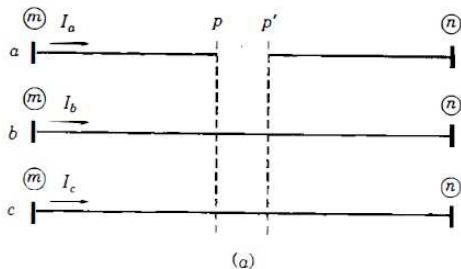


(c) Line-to-line fault

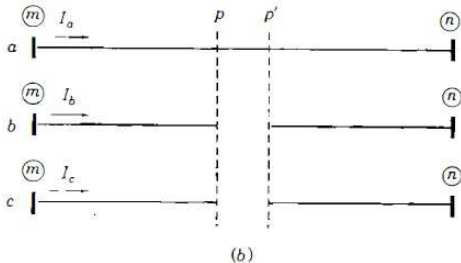


(d) Double line-to-ground fault

## 1. Introdução



Open-conductor faults on a section of a three-phase system between buses  $m$  and  $n$ : (a) conductor  $a$  open; (b) conductors  $b$  and  $c$  open between points  $p$  and  $p'$ .



<b>Setor do SEP</b>	<b>Curto-circuito</b>
Geração	6%
Subestação	5%
Linhas de transmissão	89%

<b>Tipos de curtos-circuitos</b>	<b>Ocorrências</b>
Trifásico	6%
Fase-fase	15%
Fase-fase-terra	16%
Fase-terra	63%

<b>Curto-circuito fase-terra</b>	<b>Ocorrências</b>
Permanente	4%
Temporário	96%

### Consequências de um curto-circuito

- A corrente de curto-circuito  $I_{cc}$  provoca a **dissipação de potência** na parte resistiva do circuito, e o aquecimento pode ser quantificado por  $k \cdot I_{cc}^2 \cdot r \cdot t$

No ponto da falta, este aquecimento e o formato do arco podem provocar graves danos nas instalações elétricas, dependendo de  $I_{cc}$  e de  $t$

Portanto, para uma dada corrente de curto-circuito, o tempo  $t$  deve ser menor possível para reduzir os danos

### Consequências de um curto-circuito

- A **queda de tensão** no momento de um curto-circuito provoca graves transtornos aos consumidores

O torque dos motores é proporcional ao quadrado da tensão, portanto, no momento de um curto-circuito o funcionamento dos motores pode ser comprometido

Além disso, cargas como sistemas de iluminação, sistemas computacionais e sistemas de controle em geral são particularmente sensíveis às quedas de tensão

### Consequências de um curto-circuito

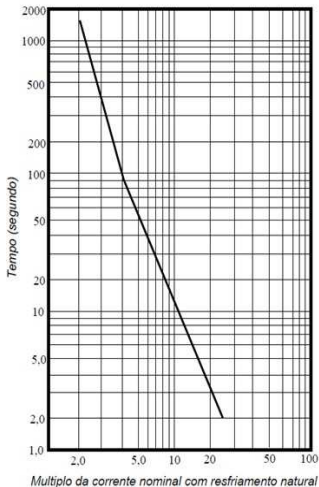
- Uma **queda abrupta da tensão** provoca ainda a instabilidade na operação paralela de geradores, podendo causar a desagregação do sistema e a interrupção de serviço aos consumidores, pois:
  - Na condição de operação normal, o torque mecânico da turbina é equilibrada pelo torque elétrico frenante produzido pela carga elétrica do gerador, como resultado, a velocidade de rotação de todos os geradores é constante e igual a uma velocidade síncrona
  - Quando um curto-circuito ocorre na proximidade de uma barra de geração, a sua tensão atingirá valor próximo de zero e, portanto, a carga elétrica e o torque frenante do gerador se anularão
  - No mesmo instante, a quantidade da água (ou vapor) admitida na turbina continua sendo a mesma e seu torque continua invariante. Isso provocará o aumento da velocidade do turbogerador, pois a resposta do regulador de velocidade da turbina é lenta e pode ser incapaz de evitar a sua aceleração nos instantes iniciais

### Consequências de um curto-circuito

- Mudanças rápidas na configuração do sistema elétrico, provocadas pelo desequilíbrio entre a geração e a carga, após a retirada do circuito sob falta, podem causar sub ou sobretensões, sub ou sobrefrequências, ou ainda sobrecargas, podendo provocar condições anormais de operação, como:
  - Sobrecarga em equipamentos, devido à passagem de uma corrente acima do valor nominal. A sobrecarga frequente em equipamentos acelera a deterioração da isolação
  - Subfrequência e sobrefrequência, causada pelo súbito desequilíbrio entre a geração e a carga
  - Sobretensão, provocada pela súbita retirada da carga e pelo efeito capacitivo das linhas de transmissão

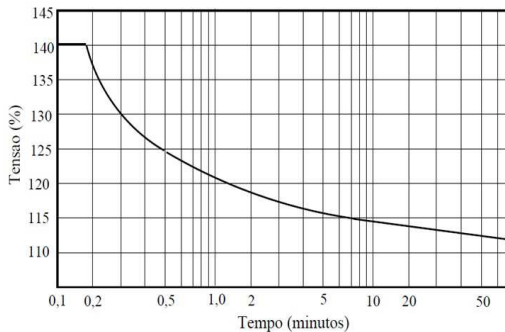


## 1. Introdução



Curva de sobrecarga

## Transformador de potência



Curva de sobreexcitação

## 1. Introdução

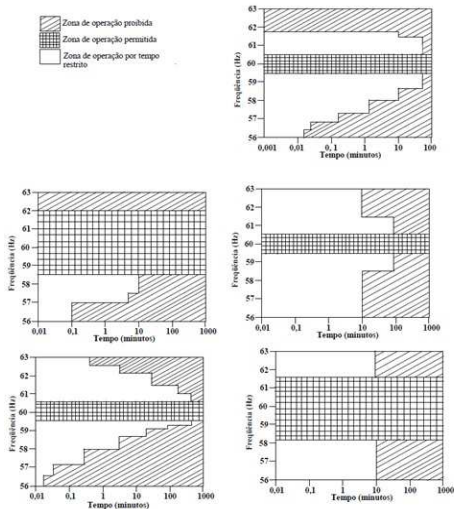


Diagrama de suportabilidade de variação de frequência de turbinas a vapor

## 2. Transitórios após curtos-circuitos

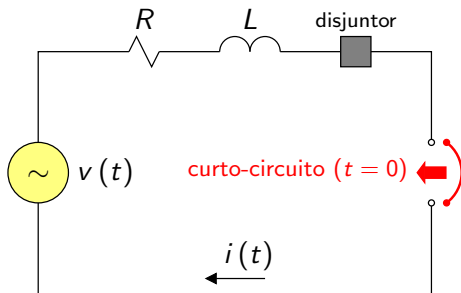
- Os **sistemas de potência** são circuitos elétricos **dinâmicos**, ou seja, experimentam períodos transitórios após sofrerem alterações, sejam elas topológicas ou de seus parâmetros

Dentre essas alterações está o curto-circuito

- A seleção de um disjuntor para a proteção de um sistema de potência depende:
  - da corrente que circula por ele em condições normais de operação
  - da máxima corrente que poderá circular por ele **momentaneamente** após uma falta
  - da corrente a qual ele é projetado para **interromper**

## 2. Transitórios após curtos-circuitos

- Considere o circuito RL a seguir



$$v(t) = V_{max} \cdot \text{sen}(\omega t + \alpha)$$

## 2. Transitórios após curtos-circuitos

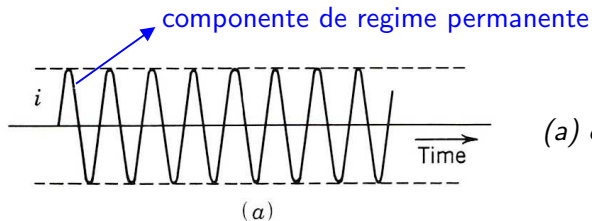
- A corrente de curto-circuito é dada por:

$$i(t) = \frac{V_{max}}{|Z|} \cdot \text{sen}(\omega t + \alpha - \theta) - \frac{V_{max}}{|Z|} \cdot \text{sen}(\alpha - \theta) \cdot \exp(-Rt/L)$$

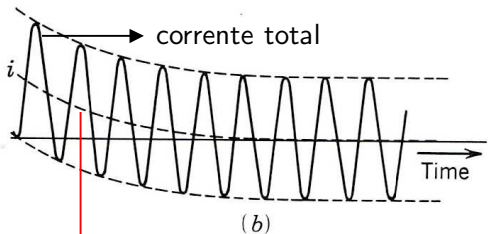
em que

$$|Z| = \sqrt{R^2 + (\omega L)^2}$$
$$\theta = \text{tg}^{-1}(\omega L/R)$$

## 2. Transitórios após curtos-circuitos



$$(a) \alpha - \theta = 0$$



$$(b) \alpha - \theta = -\pi/2$$

componente transitória (dc offset)

## 2. Transitórios após curtos-circuitos

- Componente de regime permanente
  - Parcela calculada pelos programas de cálculo de curto-circuito
  - Utilizada no projeto do sistema de proteção
- Componente transitória
  - Parcela não calculada pelos programas de cálculo de curto-circuito
- Corrente total
  - Valor máximo utilizado para especificação dos diversos componentes do sistema

## 2. Transitórios após curtos-circuitos

- Os programas de cálculo de curto-circuito tipicamente calculam somente a solução de corrente em regime permanente sob falta, ou seja, utilizam a seguinte formulação matricial/fasorial:

$$I = Y_{bus} \cdot V \quad \text{ou} \quad Z_{bus} \cdot I = V$$

Isto reduz consideravelmente os cálculos envolvidos em redes de grande porte, pois utiliza-se uma formulação algébrica

- Entretanto, visto que o curto-circuito é um fenômeno dinâmico, os valores máximo de corrente ou o valor de corrente após um determinado tempo da ocorrência da falta são calculados empregando fórmulas aproximadas das normas (ANSI/IEEE ou IEC, por exemplo)



## 2. Transitórios após curtos-circuitos

- O valor da corrente assimétrica em qualquer instante é calculado por:

$$I_{ass} = I_{ef} \cdot F \quad \left\{ \begin{array}{l} F = \sqrt{2} \cdot [1 + \exp(-t/\tau)] \\ \tau = X/\omega R \cdot 1000 \quad [\text{ms}] \\ X/R = X_+/R_+ \quad \text{para curto-circuito } 3\phi \\ X/R = (2X_+ + X_0) / (2R_+ + R_0) \quad \text{para curto-circuito } 1\phi \end{array} \right.$$

em que:

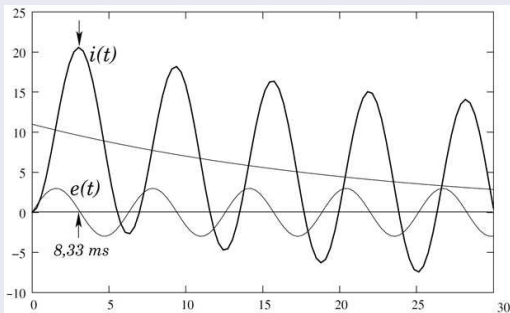
- $I_{ef}$  – valor eficaz da corrente obtida pelo programa de curto-circuito
- $t$  – tempo contado a partir do início da falta
- $\tau$  – constante de tempo do circuito visto dos terminais do disjuntor

## 2. Transitórios após curtos-circuitos

### Exemplo

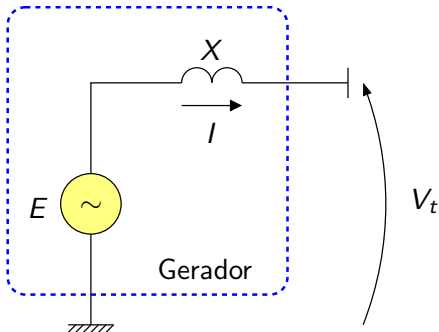
O valor do primeiro pico da corrente assimétrica para uma rede em 60 Hz, com  $X/R = 17$  e  $I_{ef} = 11/\sqrt{2}$  kA é:

$$I_{ass} = \frac{11}{\sqrt{2}} \cdot \underbrace{\sqrt{2} \cdot [1 + \exp(-8,33/45)]}_F = 20,1 \text{ kA}$$



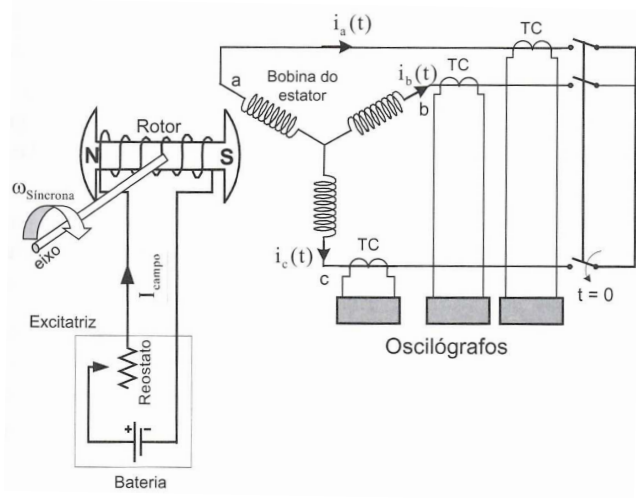
## 2. Transitórios após curtos-circuitos

- Considere agora um gerador síncrono, cujo modelo por fase simples pode ser dado por:



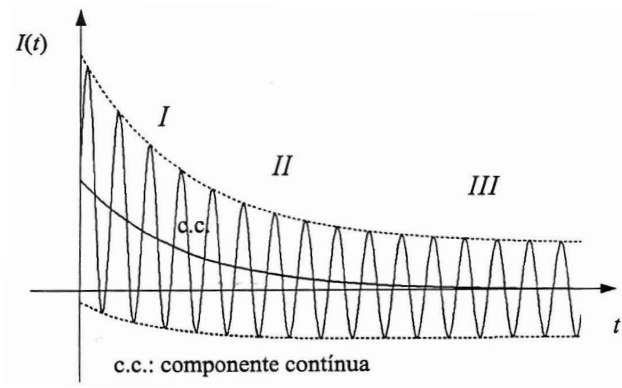
## 2. Transitórios após curtos-circuitos

- Suponha que seja realizado o ensaio de curto-circuito da máquina:



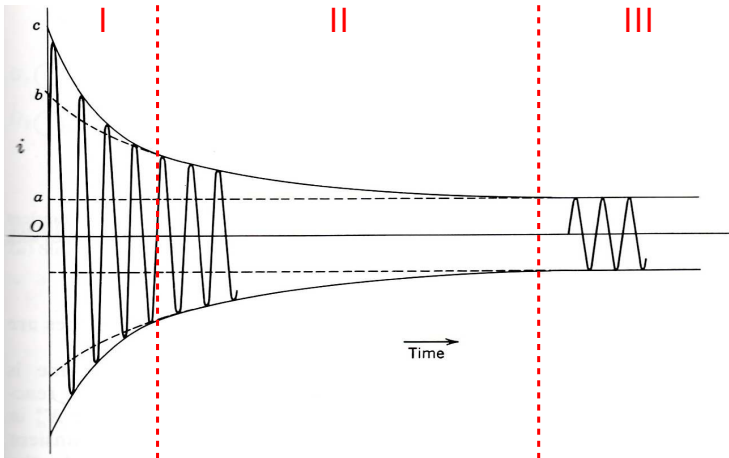
## 2. Transitórios após curtos-circuitos

- A corrente de curto-circuito na armadura será:



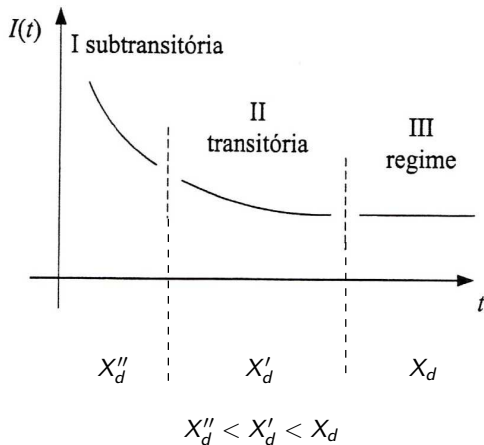
## 2. Transitórios após curtos-circuitos

- Eliminando a componente dc da corrente de curto-circuito tem-se:



## 2. Transitórios após curtos-circuitos

- Observa-se três regiões, com taxas de decaimento diferentes, em função de mudanças no fluxo magnético devido à ação combinada do campo, armadura e do enrolamento amortecedor ou do ferro do rotor:



## 2. Transitórios após curtos-circuitos

- Considerando que a força eletromotriz interna do gerador permaneça constante:

- Região I – corrente subtransitória de curto-circuito

$$I'' = \frac{E}{jX_d''}$$

- Região II – corrente transitória de curto-circuito

$$I' = \frac{E}{jX_d'}$$

- Região III – corrente de curto-circuito em regime permanente

$$I = \frac{E}{jX_d}$$



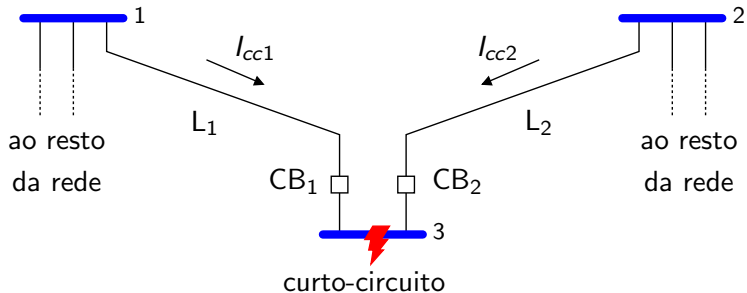
## 2. Transitórios após curtos-circuitos

### Exercícios propostos

2 , 8(a)-8(c)

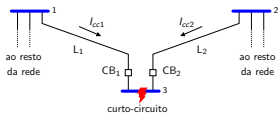
### 3. Curto-circuito trifásico (simétrico)

- Considere a parte de um sistema de transmissão mostrada a seguir



### 3. Curto-circuito trifásico (simétrico)

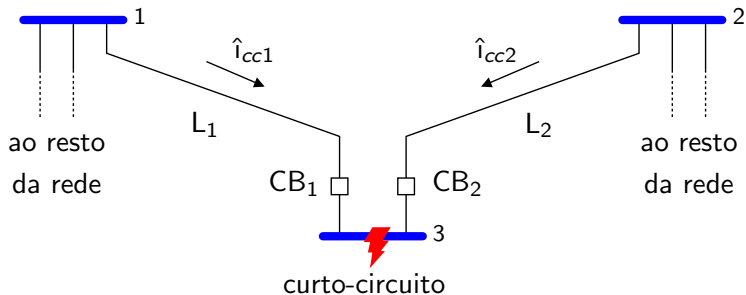
- Ao ocorrer um curto-circuito trifásico (simétrico) na barra 3:



- a tensão na barra 3 cairá instantaneamente a zero
- o restante da rede (à direita e à esquerda) irá imediatamente começar a alimentar a falta com as correntes de falta  $I_{cc1}$  e  $I_{cc2}$  através das barras 1 e 2
- os valores dessas correntes serão determinadas pelas “forças” das barras 1 e 2 e pelas impedâncias das linhas  $L_1$  e  $L_2$
- em geral essas correntes atingirão valores muitas vezes superiores às correntes normais das linhas, e os disjuntores  $CB_1$  e  $CB_2$  serão comandados para abrir, por intermédio dos sensores (relés), a fim de isolar a barra com falta

### 3.1. Capacidade de curto-circuito (SCC) trifásico

- Considere novamente a parte de um sistema de transmissão mostrada a seguir

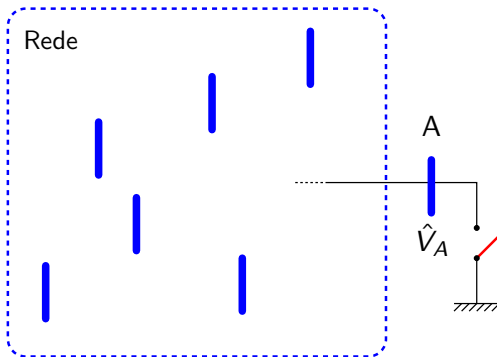


### 3.1. Capacidade de curto-circuito (SCC) trifásico

- Na ocorrência do curto-circuito, as tensões nas barras 1 e 2 e em todas as barras da rede cairão
- O valor dessa queda de tensão é uma indicação da “força” da rede
- É necessário medir essa “força”, bem como a severidade da influência dos curtos-circuitos
- Define-se então a **capacidade de curto-circuito** (também chamada de **nível de falta**) – **SCC** – da barra em questão

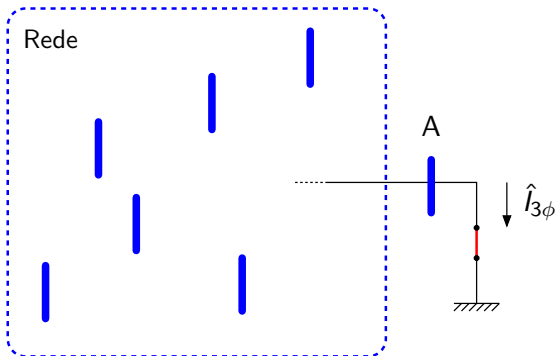
### 3.1. Capacidade de curto-circuito (SCC) trifásico

- Considere a rede a seguir, em que a barra A está inicialmente em vazio, e sua tensão de linha é  $\hat{V}_A$ .



### 3.1. Capacidade de curto-circuito (SCC) trifásico

- Suponha que a barra A seja submetida a um curto-circuito trifásico.



### 3.1. Capacidade de curto-circuito (SCC) trifásico

- A **capacidade de curto-circuito** trifásico é definida em termos da tensão pré-falta e da corrente de curto-circuito:

$$SCC_{3\phi} = \sqrt{3} \hat{V}_A \hat{I}_{3\phi}^* \text{ [VA]}$$

- Adotando uma potência de base trifásica  $S_{b,3\phi}$ , tem-se:

$$S_{b,3\phi} = \sqrt{3} V_b I_b \text{ [VA]}$$

$$SCC_{3\phi} = \hat{v}_A \hat{i}_{3\phi}^* \text{ [pu]}$$

- Como normalmente  $v_A \approx 1$ :

$$SCC_{3\phi} = \hat{i}_{3\phi}^* \text{ [pu]}$$

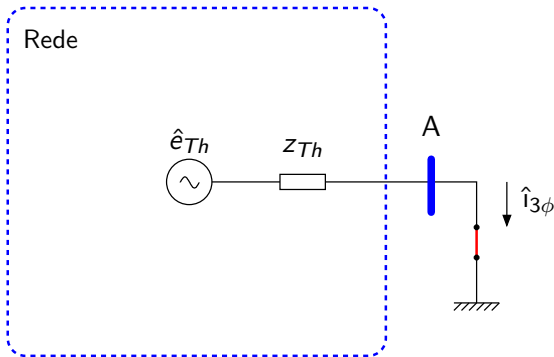
e

$$SCC_{3\phi} = \hat{i}_{3\phi}^* \cdot S_{b,3\phi} \text{ [VA]}$$



### 3.1. Capacidade de curto-circuito (SCC) trifásico

- A rede pode ser representada por seu circuito equivalente de Thévenin, visto da barra A.



### 3.1. Capacidade de curto-circuito (SCC) trifásico

- Então:

$$\hat{i}_{3\phi} = \frac{\hat{e}_{Th}}{Z_{Th}} \approx \frac{1}{Z_{Th}}$$

$$Z_{Th} = \frac{1}{\hat{i}_{3\phi}} = \frac{1}{SCC^*}$$

ou

$$SCC = \frac{1}{Z_{Th}^*}$$

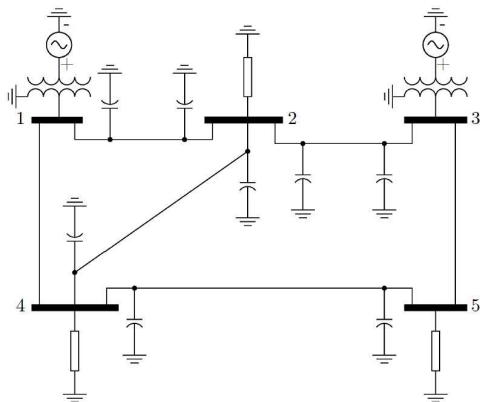
### 3.2. Cálculo de curto-circuito simétrico

- Embora a ocorrência de um curto-circuito seja um fenômeno dinâmico (equações diferenciais), pode-se empregar uma **modelagem estática** para análise do problema (equações algébricas – fasoriais)
- Nas simulações de curtos-circuitos são adotadas **algumas simplificações que facilitam bastante os cálculos**

- Estas simplificações não introduzem erros consideráveis nos valores calculados e são válidas em virtude das correntes de curtos-circuitos serem muito maiores que as correntes de carga:
  - Todas as máquinas síncronas do sistema operam com tensão igual a  $1,0 \angle 0^\circ$  pu
  - Os parâmetros shunt das linhas são ignorados
  - As cargas são ignoradas
  - Todos os transformadores operam com tap na posição nominal
  - As redes de sequência negativa e positiva são consideradas iguais

### 3.2. Cálculo de curto-circuito simétrico

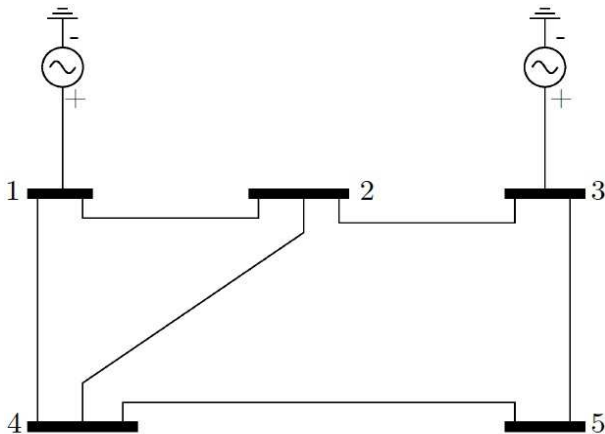
- Considere a rede a seguir



- Deseja-se simular a ocorrência de um curto-circuito simétrico na barra 5 e a respectiva corrente de curto-circuito

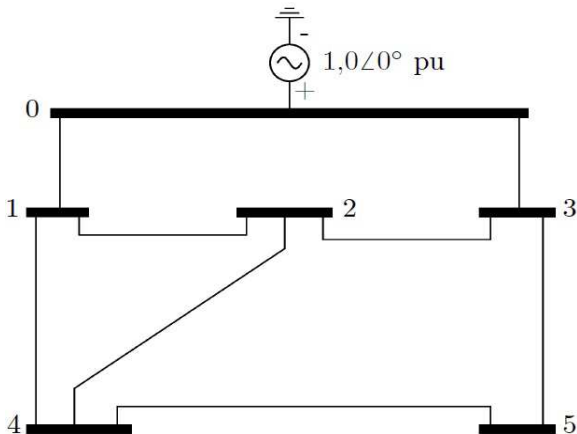
### 3.2. Cálculo de curto-circuito simétrico

- Aplicando as hipóteses simplificadoras 2, 3 e 4:



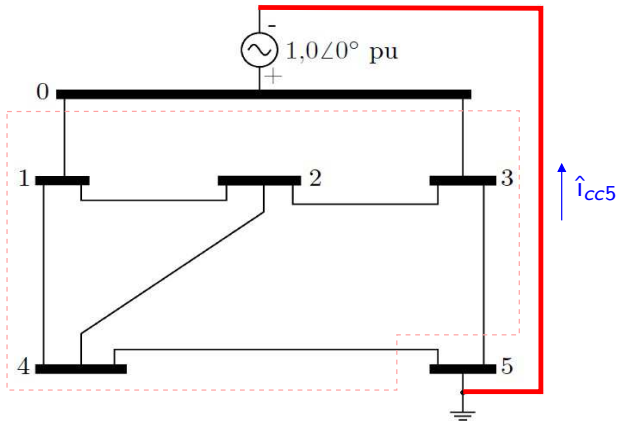
### 3.2. Cálculo de curto-circuito simétrico

- Aplicando a hipótese simplificadora 1:



### 3.2. Cálculo de curto-circuito simétrico

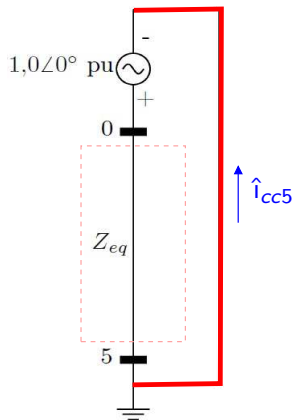
- Curto-circuito trifásico na barra 5:





### 3.2. Cálculo de curto-circuito simétrico

- Para calcular a corrente de curto-circuito na barra 5 é necessário que se obtenha a impedância equivalente na barra 5:



- Isto é conseguido por meio de técnicas de redução de circuitos
- Pode-se notar que, mesmo no caso de um sistema de pequenas dimensões, a tarefa é bastante trabalhosa

### 3.2. Cálculo de curto-circuito simétrico

- Assim, o curto-circuito trifásico pode ser calculado por:

$$\hat{I}_{cc5} = \frac{1 \angle 0^\circ}{Z_{eq}}$$

- A determinação do valor de curto-circuito total numa barra é apenas uma das necessidades
- Considerando-se que, por exemplo, para cálculos dos ajustes dos relés de proteção, são necessários fluxos de correntes nas linhas e tensões nas demais barras da rede, o método manual é incompleto

### 3.2. Cálculo de curto-circuito simétrico

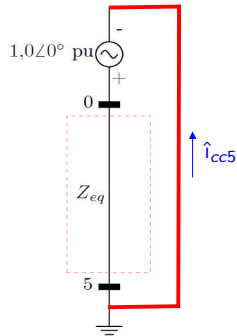
- Retomando o circuito reduzido, nota-se que, do ponto de vista da barra 5, tem-se a seguinte relação entre as grandezas mostradas e o circuito equivalente de Thévenin:

$$\hat{E}_{Th} = 1,0 \angle 0^\circ$$

$$Z_{Th} = Z_{eq}$$

- Logo:

$$Z_{Th} = Z_{eq} = \frac{1,0 \angle 0^\circ}{\hat{I}_{cc5}} \approx \frac{1}{SCC^*}$$



### 3.2. Cálculo de curto-circuito simétrico

- É possível efetuar a análise de curto-circuito através de simulações em computador digital → método digital
- A ideia é modelar a rede através de:

$$\mathbf{Y}_{\text{barra}} \cdot \hat{\mathbf{v}} = \hat{\mathbf{i}}$$

ou

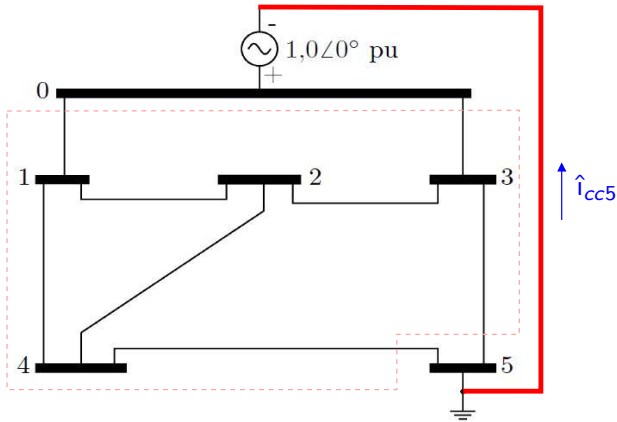
$$\mathbf{Z}_{\text{barra}} \cdot \hat{\mathbf{i}} = \hat{\mathbf{v}}$$

em que a impedância  $Z_{eq}$  para o cálculo da corrente de curto-circuito possa ser obtida de  $\mathbf{Z}_{\text{barra}}$

- A **matriz de impedância**  $\mathbf{Z}_{\text{barra}}$ , também conhecida como **matriz de curto-circuito**, contém:
  - a **impedância equivalente** de todas as barras em relação à barra de referência – **elementos da diagonal principal da matriz**
  - a **impedância de transferência** entre cada barra do sistema e todas as outras barras em relação à barra de referência – **elementos fora da diagonal principal**

### 3.2. Cálculo de curto-circuito simétrico

- Voltando à rede exemplo e à simulação de curto-circuito na barra 5:



### 3.2. Cálculo de curto-circuito simétrico

$$\mathbf{Y}_{\text{barra}} \cdot \begin{bmatrix} 1 \angle 0^\circ \\ \hat{v}_1 \\ \hat{v}_2 \\ \hat{v}_3 \\ \hat{v}_4 \\ 0 \end{bmatrix} = \begin{bmatrix} \hat{i}_{cc5} \\ 0 \\ 0 \\ 0 \\ 0 \\ -\hat{i}_{cc5} \end{bmatrix}$$

ou

$$\mathbf{Z}_{\text{barra}} \cdot \begin{bmatrix} \hat{i}_{cc5} \\ 0 \\ 0 \\ 0 \\ 0 \\ -\hat{i}_{cc5} \end{bmatrix} = \begin{bmatrix} 1 \angle 0^\circ \\ \hat{v}_1 \\ \hat{v}_2 \\ \hat{v}_3 \\ \hat{v}_4 \\ 0 \end{bmatrix}$$

### 3.2. Cálculo de curto-circuito simétrico

- Como a barra 5 tem tensão nula, pode-se utilizar a técnica de inserir um número muito grande na diagonal correspondente à barra 5 de  $\mathbf{Y}_{\text{barra}}$  como forma de eliminar uma incógnita do problema –  
 $Y_{5,5} \rightarrow \infty$

Consequentemente, todos os elementos da linha 5 e coluna 5 (referentes à barra 5) de  $\mathbf{Z}_{\text{barra}}$  tenderão a zero

Finalmente:

$$\hat{i}_{cc5} = \frac{1 \angle 0^\circ}{Z_{0,0}}$$

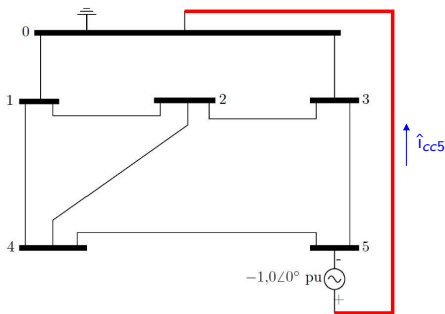


- **Problema:** para o cálculo da corrente de curto-circuito em outra barra, por exemplo, barra 4, há uma mudança na barra de referência, logo, a matriz  $\mathbf{Z}_{\text{barra}}$  será diferente

Isto implica em grande esforço de cálculo computacional para a simulação das correntes de curto-circuito

### 3.2. Cálculo de curto-circuito simétrico

- Este problema é sanado com a troca da referência para a barra 0 da rede:



- Neste novo modelo os sentidos dos fluxos de corrente são mantidos e as tensões nas barras devem ser corrigidas para:

$$\hat{v}_i^r = 1 + \hat{v}_i$$

### 3.2. Cálculo de curto-circuito simétrico

- Além disso, tem-se:

$$\mathbf{Z}_{\text{barra}} \cdot \begin{bmatrix} \hat{i}_{cc5} \\ 0 \\ 0 \\ 0 \\ 0 \\ -\hat{i}_{cc5} \end{bmatrix} = \begin{bmatrix} 0 \\ \hat{v}_1 \\ \hat{v}_2 \\ \hat{v}_3 \\ \hat{v}_4 \\ -1 \angle 0^\circ \end{bmatrix}$$

Como agora a barra de referência é a 0, os elementos da primeira linha e primeira coluna de  $\mathbf{Z}_{\text{barra}}$  são nulos, portanto:

$$\hat{i}_{cc5} = \frac{1 \angle 0^\circ}{Z_{5,5}}$$

- A matriz  $\mathbf{Z}_{\text{barra}}$  pode ser obtida:
  - através da inversão direta da matriz de admitância  $\mathbf{Y}_{\text{barra}}$ , sendo que para uma matriz de dimensão  $N$ , o número de operações é proporcional a  $N^3$ , o que torna o processo computacionalmente caro para sistemas de grande porte
  - diretamente, simulando a própria construção da rede a partir da barra de referência, acrescentando-se um ramo por vez
  - através de técnicas de fatoração de matrizes esparsas
- Para mais informações, ver por exemplo: “F. Sato, W. Freitas, Análise de curto-circuito e princípios de proteção em sistemas de energia elétrica – fundamentos e prática, Elsevier, 2015”, seções 3.5.1 e 3.5.2

### 3.2. Cálculo de curto-circuito simétrico

- Nos cálculos de curtos-circuitos através de um programa computacional, geralmente, são determinadas as seguintes grandezas:
  - Correntes de curtos-circuitos nas barras
  - Tensões nas barras vizinhas
  - Fluxos de correntes nas linhas vizinhas
- No caso do curto-circuito simétrico na barra 5, já foi visto que:

$$\hat{i}_{cc5} = \frac{1 \angle 0^\circ}{Z_{5,5}}$$

### 3.2. Cálculo de curto-circuito simétrico

- Voltando à expressão matricial:

$$\mathbf{Z}_{\text{barra}} \cdot \begin{bmatrix} \hat{I}_{cc5} \\ 0 \\ 0 \\ 0 \\ 0 \\ -\hat{I}_{cc5} \end{bmatrix} = \begin{bmatrix} 0 \\ \hat{V}_1 \\ \hat{V}_2 \\ \hat{V}_3 \\ \hat{V}_4 \\ -1 \angle 0^\circ \end{bmatrix}$$
$$\begin{bmatrix} 0 & 0 & 0 & 0 & 0 & 0 \\ 0 & Z_{1,1} & Z_{1,2} & Z_{1,3} & Z_{1,4} & Z_{1,5} \\ 0 & Z_{2,1} & Z_{2,2} & Z_{2,3} & Z_{2,4} & Z_{2,5} \\ 0 & Z_{3,1} & Z_{3,2} & Z_{3,3} & Z_{3,4} & Z_{3,5} \\ 0 & Z_{4,1} & Z_{4,2} & Z_{4,3} & Z_{4,4} & Z_{4,5} \\ 0 & Z_{5,1} & Z_{5,2} & Z_{5,3} & Z_{5,4} & Z_{5,5} \end{bmatrix} \cdot \begin{bmatrix} \hat{I}_{cc5} \\ 0 \\ 0 \\ 0 \\ 0 \\ -\hat{I}_{cc5} \end{bmatrix} = \begin{bmatrix} 0 \\ \hat{V}_1 \\ \hat{V}_2 \\ \hat{V}_3 \\ \hat{V}_4 \\ -1 \angle 0^\circ \end{bmatrix}$$

- Da segunda linha da expressão matricial anterior:

$$\begin{aligned} -Z_{1,5} \cdot \hat{i}_{cc5} &= \hat{v}_1 \\ \hat{v}_1 &= -\frac{Z_{1,5}}{Z_{5,5}} \\ \hat{v}_1^r &= 1 - \frac{Z_{1,5}}{Z_{5,5}} \end{aligned}$$

que é a tensão na barra 1

- Procedimento semelhante leva às tensões nas outras barras da rede

- A corrente que flui pelo ramo 2-4 é dada por:

$$\begin{aligned}\hat{i}_{2,4} &= \frac{\hat{v}_2 - \hat{v}_4}{z_{2,4}} \\ &= \left( \frac{1}{z_{2,4}} \right) \cdot \left( 1 - \frac{Z_{2,5}}{Z_{5,5}} - 1 + \frac{Z_{4,5}}{Z_{5,5}} \right) \\ &= \left( \frac{1}{z_{2,4}} \right) \cdot \left( \frac{Z_{4,5} - Z_{2,5}}{Z_{5,5}} \right)\end{aligned}$$



- Equações gerais para curto-circuito na barra  $k$ :

- Corrente de curto-circuito na barra  $k$ :

$$\hat{i}_{cck} = \frac{1 \angle 0^\circ}{Z_{k,k}}$$

- Tensões nas barras vizinhas:

$$\hat{v}_i^r = 1 - \frac{Z_{i,k}}{Z_{k,k}}$$

- Fluxos de correntes nas linhas vizinhas:

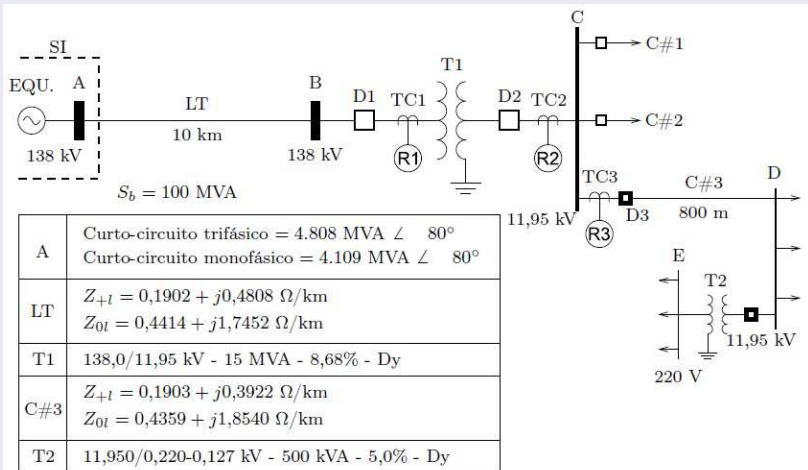
$$\hat{i}_{p,q} = \left( \frac{1}{Z_{p,q}} \right) \cdot \left( \frac{Z_{q,k} - Z_{p,k}}{Z_{k,k}} \right)$$

### 3.2. Cálculo de curto-circuito simétrico

- Sistemas radiais os cálculos manuais podem ser suficientes
- As simplificações adotadas permitem considerar o sistema de potência operando em vazio

### Exemplo

Considere o diagrama unifilar da seguinte rede radial de distribuição:



### 3.2. Cálculo de curto-circuito simétrico

- Equivalente do restante do sistema (à esquerda da barra A) representado por seu equivalente de Thévenin – lembrando do conceito de capacidade de curto-circuito:

$$\begin{aligned}z_s &\approx \frac{1}{SCC^*} = \frac{100}{4808 \angle -80^\circ} \\&= 0,0208 \angle 80^\circ = 0,0036 + j 0,0205 \text{ pu} \\&= 0,36 + j 2,05 \%\end{aligned}$$

- Linha de transmissão LT:

$$\begin{aligned}z_{LT} &= (0,1902 + j 0,4808) \cdot 10 \cdot \frac{100}{(138)^2} \\&= 0,01 + j 0,025 \text{ pu} \\&= 1 + j 2,5 \%\end{aligned}$$

- Transformador T1:

$$\begin{aligned} z_{T1} &= j \frac{8,68}{100} \cdot \frac{(138)^2}{15} \cdot \frac{100}{(138)^2} \\ &= j 0,5787 \text{ pu} = j 57,87 \% \end{aligned}$$

- Trecho C#3:

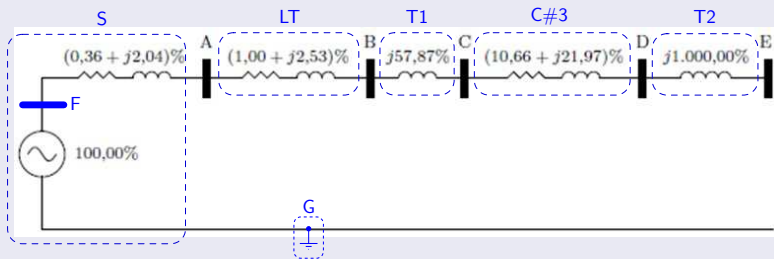
$$\begin{aligned} z_{C3} &= (0,1903 + j 0,3922) \cdot 0,8 \cdot \frac{100}{(11,95)^2} \\ &= 0,1066 + j 0,2197 \text{ pu} = 10,66 + j 21,97 \% \end{aligned}$$

### 3.2. Cálculo de curto-circuito simétrico

- Transformador T2:

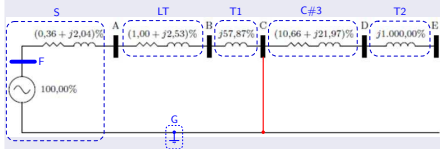
$$\begin{aligned} Z_{T2} &= j \frac{5,0}{100} \cdot \frac{(11,95)^2}{0,5} \cdot \frac{100}{(11,95)^2} \\ &= j 10 \text{ pu} = j 1000 \% \end{aligned}$$

- Diagrama (de sequência positiva):



### 3.2. Cálculo de curto-circuito simétrico

- Curto-circuito na barra C:



$$\begin{aligned}\hat{I}_{cc} &= \frac{1,0}{Z_s + Z_{LT} + Z_{T1}} \\ &= \frac{1,0}{0,0136 + j0,6242} \\ &= 0,0349 - j1,6013 \\ &= 1,6017 \angle -88,75^\circ \text{ pu}\end{aligned}$$

$$\begin{aligned}\hat{I}_{cc} &= 1,6017 \angle -88,75^\circ \cdot \frac{100}{\sqrt{3} \cdot 11,95} \cdot 10^3 \\ &= 7738,2836 \angle -88,75^\circ \text{ A}\end{aligned}$$

- Procedimento alternativo:

- Montar a matriz  $\mathbf{Y}_{6 \times 6}$  – nós F, A, B, C, D e E
- $Y(1,1) = 10^{20}$  (número muito grande na diagonal após aterramento)
- Inverter  $\mathbf{Y} \rightarrow \mathbf{Z}$
- Tomar o elemento  $Z(4,4)$  (correspondente ao nó C, onde ocorreu o curto-circuito):

$$Z(4,4) = 0,0136 + j 0,6242$$

- Calcular a corrente de curto-circuito:

$$\hat{i}_{cc} = \frac{1,0}{Z(4,4)}$$



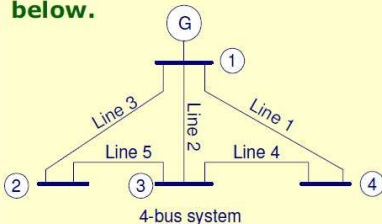
### Exemplo

Training Course in Short Circuit Analysis

14

#### Example:

**Determine the fault current for a three phase bolted fault in each bus for the 4 bus system below.**



LINE	FB	TB	Z(p.u.)
Line1	1	4	j0.2
Line2	1	3	j0.4
Line3	1	2	j0.3
Line4	3	4	j0.5
Line5	2	3	j0.6

The generator is rated 100 MVA, 6.9 kV and has a subtransient reactance of 10%. Base Values: 100 MVA, 6.9 kV



U. P. National Engineering Center  
National Electrification Administration

Competency Training & Certification Program in  
Electric Power Distribution System Engineering

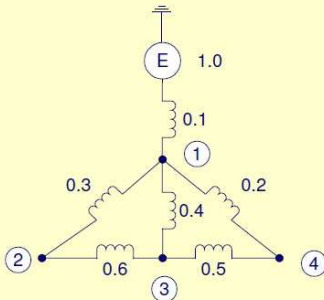
### 3.2. Cálculo de curto-circuito simétrico

#### Training Course in Short Circuit Analysis

15

#### Solution:

Draw the impedance diagram



U. P. National Engineering Center  
National Electrification Administration

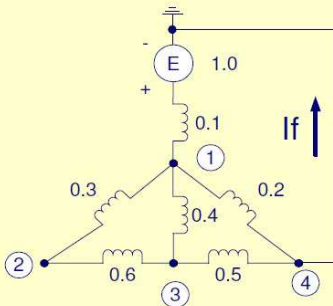
Competency Training & Certification Program in  
Electric Power Distribution System Engineering

### 3.2. Cálculo de curto-circuito simétrico

#### Training Course in Short Circuit Analysis

16

#### a) Fault @ Bus 4



Reduce the network

$$\begin{aligned} X^a &= X_{12} + X_{23} \\ &= 0.3 + 0.6 \\ &= 0.9 \end{aligned}$$

$$\begin{aligned} X^b &= \frac{X^a X_{13}}{X^a + X_{13}} \\ &= \frac{(0.9)(0.4)}{0.9 + 0.4} \\ &= 0.276923 \end{aligned}$$

$$\begin{aligned} X^c &= X^b + X_{34} \\ &= 0.276923 + 0.5 \\ &= 0.776923 \end{aligned}$$



U. P. National Engineering Center  
National Electrification Administration

Competency Training & Certification Program in  
Electric Power Distribution System Engineering

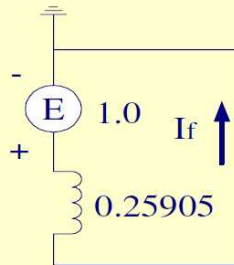
### 3.2. Cálculo de curto-circuito simétrico

#### Training Course in Short Circuit Analysis

17

$$\begin{aligned} X^d &= \frac{X^c \cdot X_{14}}{X^c + X_{14}} \\ &= \frac{(0.776923) (0.2)}{0.776923 + 0.2} \\ &= 0.159055 \end{aligned}$$

$$\begin{aligned} X_{\text{equiv}} &= X_{\text{gen}} + X^d \\ &= 0.1 + 0.159055 \\ &= 0.259055 \\ I_f &= \frac{1.0}{0.259055} \\ &= 3.860184 \text{ p.u.} \end{aligned}$$



$$\begin{aligned} I_{\text{base}} &= \frac{100 \times 1000}{\sqrt{3}(6.9)} = 8367.64 \text{ A} \\ I_f &= 3.860184 \times 8367.64 \\ &= 32,300.63 \text{ A} \end{aligned}$$



U. P. National Engineering Center  
National Electrification Administration

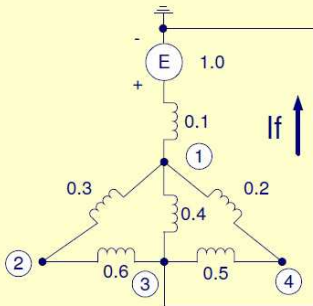
Competency Training & Certification Program in  
Electric Power Distribution System Engineering

### 3.2. Cálculo de curto-circuito simétrico

#### Training Course in Short Circuit Analysis

18

#### b) Fault @ Bus 3



$$\begin{aligned}X^a &= X_{23} + X_{12} \\&= 0.3 + 0.6 \\&= 0.9\end{aligned}$$

$$\begin{aligned}X^b &= X_{14} + X_{34} \\&= 0.2 + 0.5 \\&= 0.7\end{aligned}$$

$$\begin{aligned}X_{\text{equiv}} &= (X^a || X^b) || X_{13} \\&= 0.198425\end{aligned}$$



U. P. National Engineering Center  
National Electrification Administration

Competency Training & Certification Program in  
Electric Power Distribution System Engineering

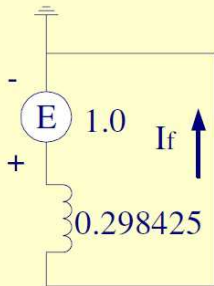
### 3.2. Cálculo de curto-circuito simétrico

#### Training Course in Short Circuit Analysis

19

$$\begin{aligned} X &= X_{\text{gen}} + X_{\text{equiv}} \\ &= 0.1 + 0.198425 \\ &= 0.298425 \end{aligned}$$

$$\begin{aligned} I_f &= \frac{1.0}{0.298425} \\ &= 3.350923 \text{ p.u.} \end{aligned}$$



U. P. National Engineering Center  
National Electrification Administration

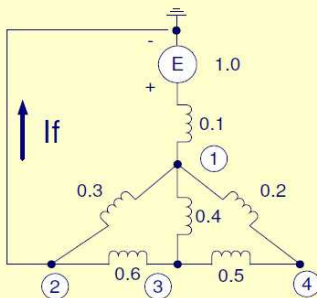
Competency Training & Certification Program in  
Electric Power Distribution System Engineering

### 3.2. Cálculo de curto-circuito simétrico

#### Training Course in Short Circuit Analysis

20

#### c) Fault @ Bus 2



$$\begin{aligned} X^a &= X_{14} + X_{34} \\ &= 0.2 + 0.5 \\ &= 0.7 \end{aligned}$$

$$\begin{aligned} X^b &= \frac{X^a X_{13}}{X^a + X_{13}} \\ &= \frac{(0.7)(0.4)}{0.7 + 0.4} \\ &= 0.254545 \end{aligned}$$



U. P. National Engineering Center  
National Electrification Administration

Competency Training & Certification Program in  
Electric Power Distribution System Engineering

### 3.2. Cálculo de curto-circuito simétrico

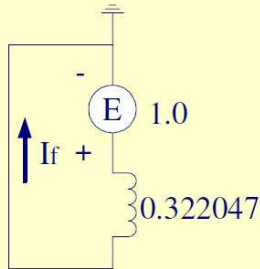
#### Training Course in Short Circuit Analysis

21

$$\begin{aligned}X^c &= X^b + X_{23} \\&= 0.254545 + 0.6 \\&= 0.854545\end{aligned}$$

$$\begin{aligned}X^d &= \frac{X^c X_{12}}{X^c + X_{12}} \\&= \frac{(0.854545)(0.3)}{0.854545 + 0.3} \\&= 0.222047\end{aligned}$$

$$\begin{aligned}X &= X_{\text{gen}} + X^d \\&= 0.322047\end{aligned}$$



$$\begin{aligned}I_f &= \frac{1.0}{0.322047} \\&= 3.095525 \text{ p.u.}\end{aligned}$$



U. P. National Engineering Center  
National Electrification Administration

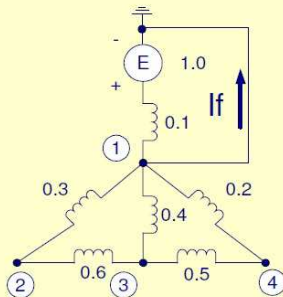
Competency Training & Certification Program in  
Electric Power Distribution System Engineering



#### Training Course in Short Circuit Analysis

22

#### d) Fault @ Bus 1



$$X = X_{\text{gen}} \\ = 0.1$$

$$I_f = \frac{1.0}{0.1} \\ = 10.0 \text{ p.u.}$$



U. P. National Engineering Center  
National Electrification Administration

Competency Training & Certification Program in  
Electric Power Distribution System Engineering

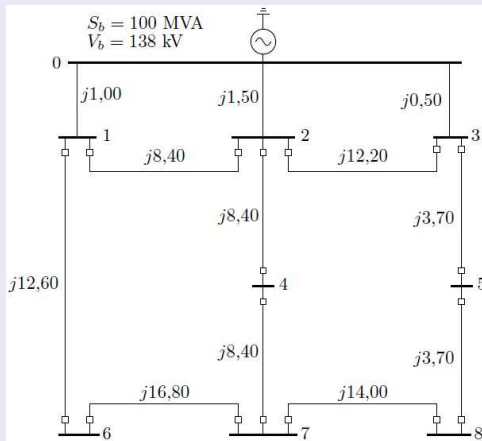
#### Exercício

Obtenha a matriz  $\mathbf{Z}$  da rede do exemplo anterior e recalcule as correntes de falta nos nós 1 a 4 através de:

$$\hat{i}_{cc,k} = \frac{1,0}{Z_{k,k}}$$

### Exercício

Considere a rede de transmissão de oito barras e doze linhas mostrada a seguir.



A partir das impedâncias em % mostradas no diagrama unifilar:

- Verifique que a matriz  $\mathbf{Z}_{\text{barra}}$  é:

$$j \begin{bmatrix} 0,8891 & 0,1328 & 0,0112 & 0,2043 & 0,0569 & 0,6262 & 0,2757 & 0,1026 \\ 0,1328 & 1,1346 & 0,0554 & 0,8334 & 0,1378 & 0,3040 & 0,5322 & 0,2202 \\ 0,0112 & 0,0554 & 0,4760 & 0,1201 & 0,4256 & 0,0856 & 0,1848 & 0,3753 \\ 0,2043 & 0,8334 & 0,1201 & 6,6206 & 0,7923 & 1,8344 & 4,0078 & 1,4644 \\ 0,0569 & 0,1378 & 0,4256 & 0,7923 & 3,6624 & 0,6525 & 1,4467 & 3,1993 \\ 0,6262 & 0,3040 & 0,0856 & 1,8344 & 0,6525 & 8,9999 & 3,3648 & 1,2195 \\ 0,2757 & 0,5322 & 0,1848 & 4,0078 & 1,4467 & 3,3648 & 7,4835 & 2,7086 \\ 0,1026 & 0,2202 & 0,3753 & 1,4644 & 3,1993 & 1,2195 & 2,7086 & 6,0233 \end{bmatrix} \%$$

### 3.2. Cálculo de curto-circuito simétrico

- Calcule a corrente de curto-circuito trifásico na barra 7 em Ampères
- Calcule as tensões de fase nas barras 1, 4 e 5 em kV
- Calcule os fluxos de corrente nas linhas 1-6 e 8-7, em Ampères

Resp.: 5590,5 A ; 76,74 kV ; 37 kV ; 64,27 kV ; 1370,6 A ; 1906,8 A

#### Exercícios propostos

8(d)

### Revisão de Componentes simétricas

### Exercícios propostos

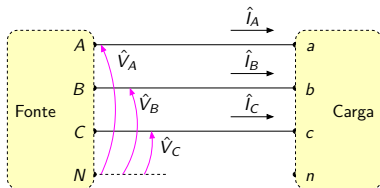
1, 7



## 4.1. Equações para elementos passivos

- Elementos passivos, como linhas de transmissão e transformadores, operando sob condições desequilibradas, podem ser descritos de maneira geral por:

$$\mathbf{V}_P = \mathbf{Z}_C \cdot \mathbf{I}_P$$



em que:

- $\mathbf{V}_P$  – tensões de fase ( $3 \times 1$ )
- $\mathbf{I}_P$  – correntes de linha ( $3 \times 1$ )
- $\mathbf{Z}_C$  – matriz de impedâncias ( $3 \times 3$ )

## 4.1. Equações para elementos passivos

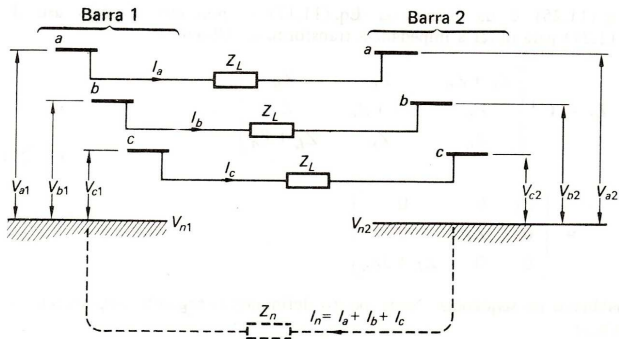
- Transformando em grandezas de sequência:

$$\begin{aligned}V_P &= Z_C \cdot I_P \\T \cdot V_S &= Z_C \cdot T \cdot I_S \\T^{-1} \cdot T \cdot V_S &= T^{-1} \cdot Z_C \cdot T \cdot I_S \\V_S &= \underbrace{T^{-1} \cdot Z_C \cdot T}_{Z_S} \cdot I_S\end{aligned}$$

- A característica relevante de  $Z_S$  é que ela é **diagonal** para os elementos passivos utilizados em sistemas de potência, levando a um **desacoplamento dos elementos de sequência positiva, negativa e zero**

## 4.1. Equações para elementos passivos

- Considere a seguinte linha de transmissão trifásica:



- Sob condição de operação **equilibrada**, tem-se:

$$I_n = 0$$

$$V_{n1} = V_{n2} = 0$$

## 4.1. Equações para elementos passivos

- Sob condição de operação **desequilibrada**, nem as tensões, nem as correntes possuem simetria trifásica e a soma das correntes será diferente de zero:

$$I_n = I_a + I_b + I_c \neq 0$$

resultando em uma queda de tensão sobre a impedância de neutro  $Z_n$

## 4.1. Equações para elementos passivos

- Logo:

$$V_{a1} - V_{a2} = Z_L I_a + Z_n (I_a + I_b + I_c)$$

$$V_{b1} - V_{b2} = Z_L I_b + Z_n (I_a + I_b + I_c)$$

$$V_{c1} - V_{c2} = Z_L I_c + Z_n (I_a + I_b + I_c)$$

$$\begin{bmatrix} V_{a1} - V_{a2} \\ V_{b1} - V_{b2} \\ V_{c1} - V_{c2} \end{bmatrix} = \begin{bmatrix} Z_L + Z_n & Z_n & Z_n \\ Z_n & Z_L + Z_n & Z_n \\ Z_n & Z_n & Z_L + Z_n \end{bmatrix} \cdot \begin{bmatrix} I_a \\ I_b \\ I_c \end{bmatrix}$$

$$\Delta \mathbf{V}_P = \mathbf{Z}_C \cdot \mathbf{I}_P$$

#### 4.1. Equações para elementos passivos

- A matriz de impedâncias de sequência é:

$$\mathbf{Z}_S = \mathbf{T}^{-1} \cdot \mathbf{Z}_C \cdot \mathbf{T}$$

$$\mathbf{Z}_S = \begin{bmatrix} Z_L & 0 & 0 \\ 0 & Z_L & 0 \\ 0 & 0 & Z_L + 3Z_n \end{bmatrix}$$

em que:

$$\mathbf{T} = \begin{bmatrix} 1 & 1 & 1 \\ \alpha^2 & \alpha & 1 \\ \alpha & \alpha^2 & 1 \end{bmatrix}$$

e  $\alpha = 1 \angle 120^\circ$

## 4.1. Equações para elementos passivos

- A matriz  $\mathbf{Z}_S$  fornece as impedâncias das sequências:

$$Z_+ = Z_L \quad - \text{ impedância de sequência positiva}$$

$$Z_- = Z_L \quad - \text{ impedância de sequência negativa}$$

$$Z_0 = Z_L + 3Z_n \quad - \text{ impedância de sequência zero}$$

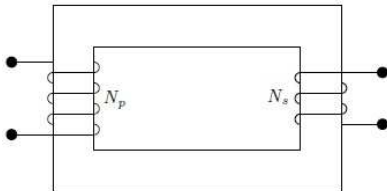
- Para linhas de transmissão:
  - As impedâncias de sequências positiva e negativa são iguais
  - A impedância de sequência zero é função do caminho de retorno da corrente

- Com relação aos transformadores:
  - Conforme já visto, a impedância de sequência positiva por fase do transformador trifásico é simplesmente um parâmetro série, obtido por meio do ensaio de rotina do fabricante
  - A impedância de sequência negativa é igual a de sequência positiva, pois não há diferença se o transformador for energizado por tensões de sequência negativa ou de sequência positiva
  - A impedância de sequência zero do transformador depende de dois fatores: esquema de ligação e tipo de núcleo do transformador

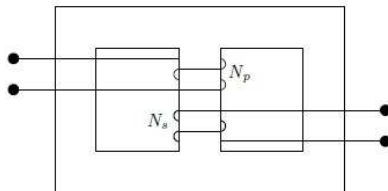


## 4.1. Equações para elementos passivos

- Quanto aos tipos de núcleo, existem:



núcleo envolvido  
(core)



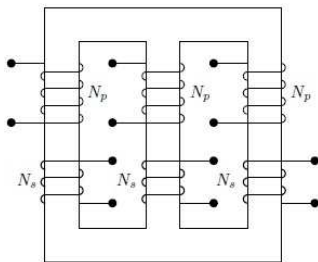
núcleo envolvente  
(shell)

## 4.1. Equações para elementos passivos

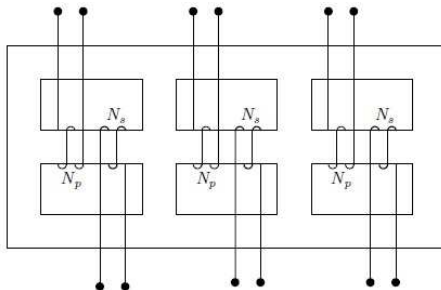
- O transformador de núcleo envolvido é de fabricação mais fácil e econômica, no entanto, é menos eficiente
- O transformador de núcleo envolvente requer tecnologia mais avançada na sua fabricação e, em virtude de possuir uma concatenação maior entre as bobinas, ele apresenta a reatância de dispersão menor

## 4.1. Equações para elementos passivos

- Transformadores trifásicos:



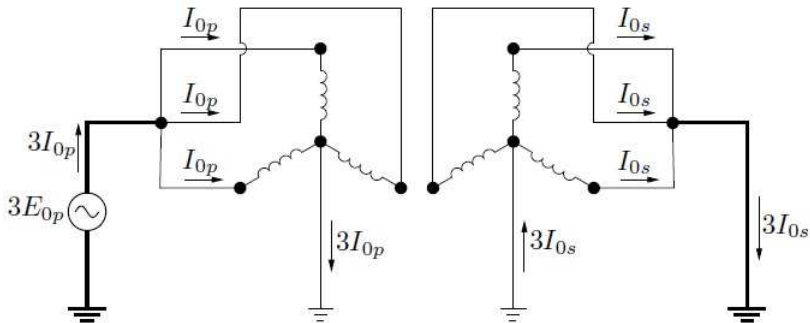
núcleo envolvido  
(core)



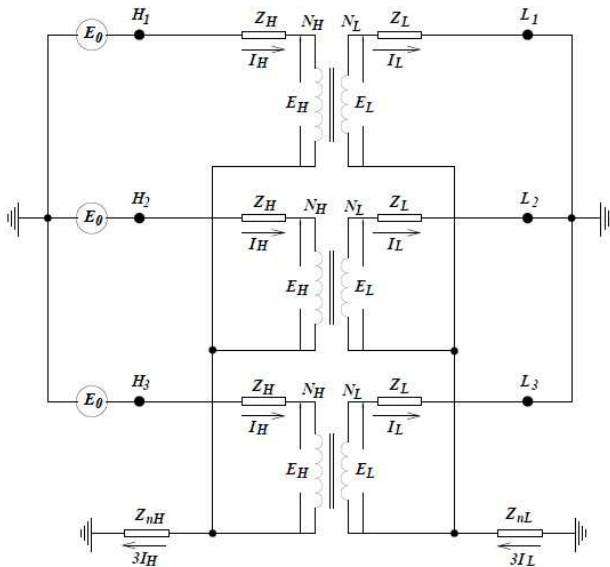
núcleo envolvente  
(shell)

## 4.1. Equações para elementos passivos

- Transformador trifásico de núcleo envolvente, ou banco monofásico ligado em Y-Y com os neutros aterrados – esquema de ensaio de curto-circuito para determinação da impedância de sequência zero:

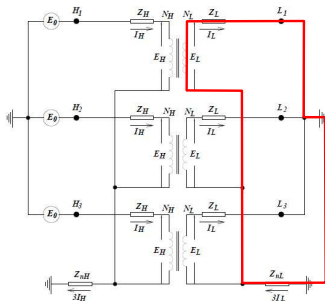


## 4.1. Equações para elementos passivos



## 4.1. Equações para elementos passivos

- Lado de baixa tensão:



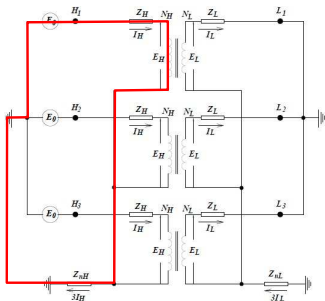
$$E_L = I_L (Z_L + 3Z_{nL})$$

$$E_H \left( \frac{N_L}{N_H} \right) = I_H \left( \frac{N_H}{N_L} \right) (Z_L + 3Z_{nL})$$

$$E_H = I_H \left( \frac{N_H}{N_L} \right)^2 (Z_L + 3Z_{nL})$$

## 4.1. Equações para elementos passivos

- Lado de alta tensão:



$$E_0 = E_H + I_H (Z_H + 3Z_{nH})$$

#### 4.1. Equações para elementos passivos

- Então:

$$E_0 = E_H + I_H (Z_H + 3Z_{nH})$$

$$E_0 = I_H \left( \frac{N_H}{N_L} \right)^2 (Z_L + 3Z_{nL}) + I_H (Z_H + 3Z_{nH})$$

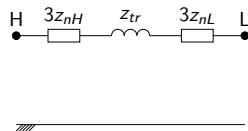
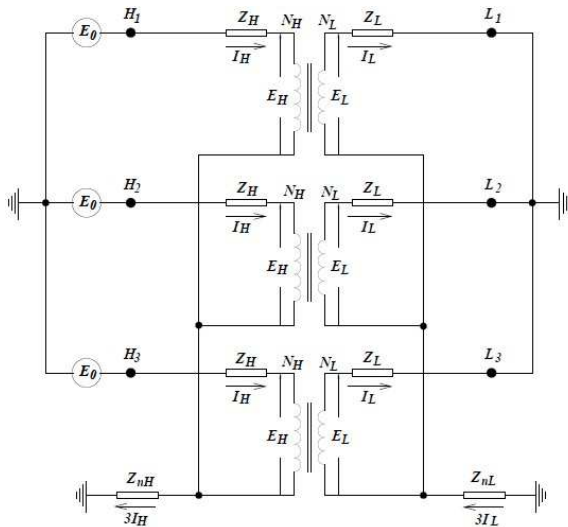
$$E_0 = I_H \underbrace{\left[ 3Z_{nH} + Z_H + Z_L \left( \frac{N_H}{N_L} \right)^2 + 3Z_{nL} \left( \frac{N_H}{N_L} \right)^2 \right]}_{Z_0}$$

$$z_0 = 3z_{nH} + z_{tr} + 3z_{nL} \quad \text{em por unidade}$$

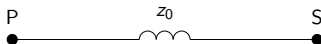
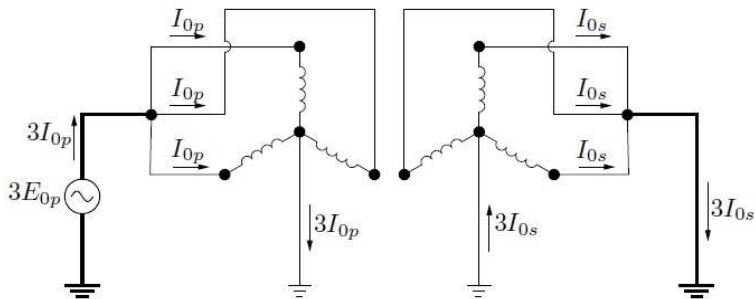
- Alimentando o transformador com tensão de sequência zero pelo lado L a impedância de sequência zero  $z_0$  vista pelo lado L é a mesma



#### 4.1. Equações para elementos passivos

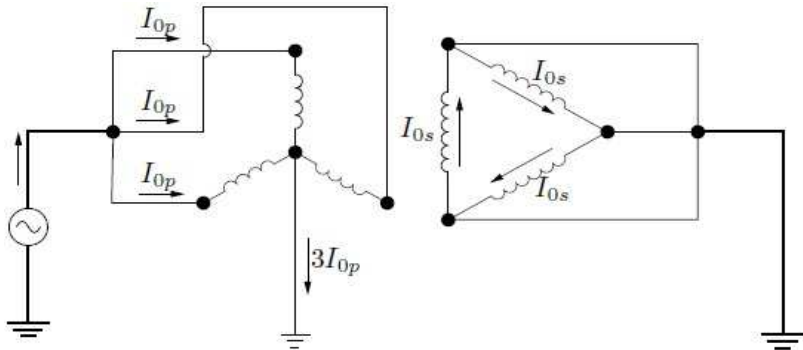


## 4.1. Equações para elementos passivos

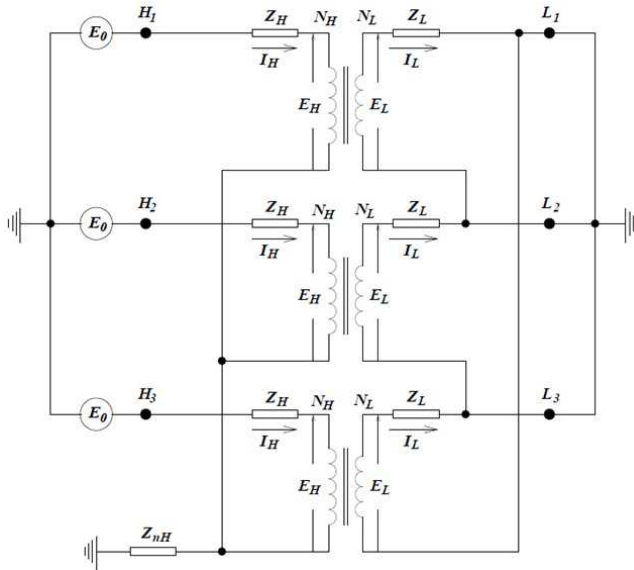


## 4.1. Equações para elementos passivos

- Transformador trifásico de núcleo envolvente, ou banco monofásico ligado em Y- $\Delta$  com o neutro aterrado – esquema de ensaio de curto-circuito para determinação da impedância de sequência zero:

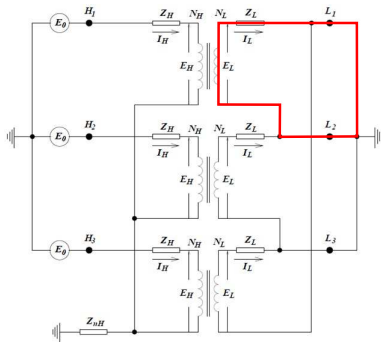


## 4.1. Equações para elementos passivos



## 4.1. Equações para elementos passivos

- Lado de baixa tensão:



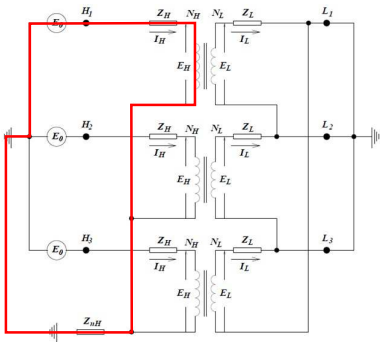
$$E_L = I_L Z_L$$

$$E_H \left( \frac{N_L}{N_H} \right) = I_H \left( \frac{N_H}{N_L} \right) Z_L$$

$$E_H = I_H \left( \frac{N_H}{N_L} \right)^2 Z_L$$

## 4.1. Equações para elementos passivos

- Lado de alta tensão:



$$E_0 = E_H + I_H (Z_H + 3Z_{nH})$$

$$E_0 = I_H \left( \frac{N_H}{N_L} \right)^2 Z_L + I_H (Z_H + 3Z_{nH})$$

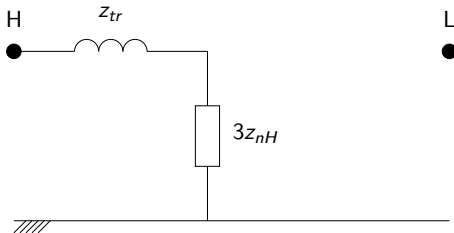
$$E_0 = I_H \underbrace{\left[ 3Z_{nH} + Z_H + Z_L \left( \frac{N_H}{N_L} \right)^2 \right]}_{Z_0}$$

$$Z_0 = Z_{tr} + 3Z_{nH} \quad \text{em por unidade}$$

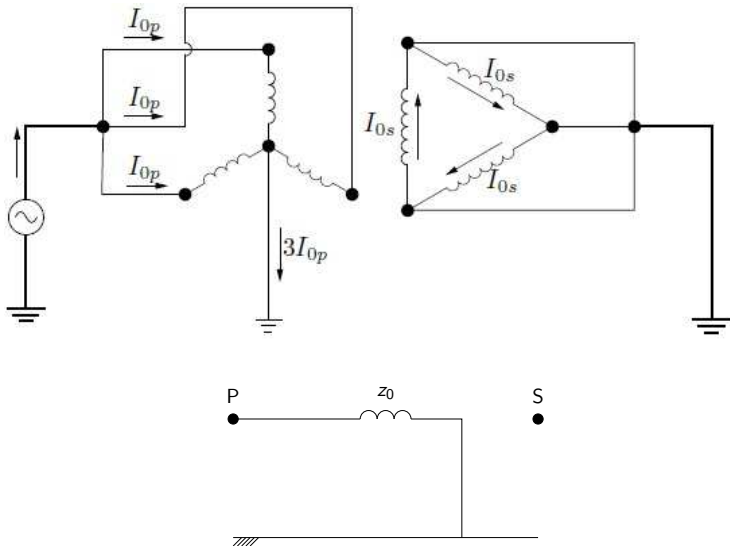
## 4.1. Equações para elementos passivos

- Por outro lado, alimentando o transformador com tensão de sequência zero pelo lado L (ligação  $\Delta$ ), não circulará corrente, pois os terminais L1, L2 e L3 estão no mesmo potencial

Portanto, a impedância de sequência zero vista pelo lado L, é infinita



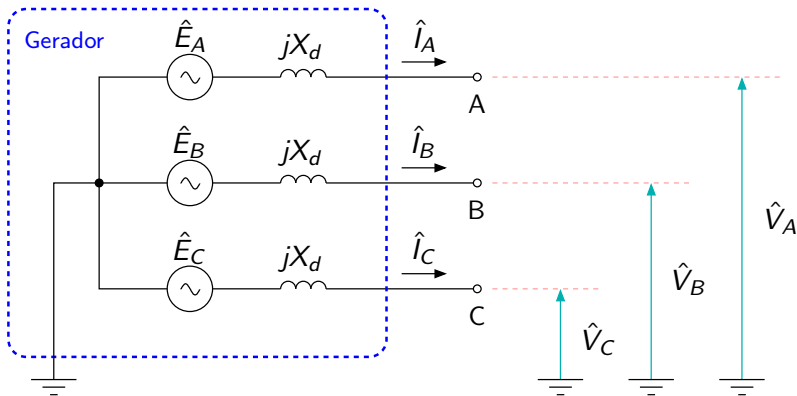
## 4.1. Equações para elementos passivos





## 4.2. Equações para elementos ativos

- Considere inicialmente um gerador síncrono operando em condições normais (equilibradas):



## 4.2. Equações para elementos ativos

- Como a máquina é equilibrada, assume-se que as fem internas são sempre dadas por:

$$\mathbf{E}_P = \begin{bmatrix} \hat{E}_A \\ \hat{E}_B \\ \hat{E}_C \end{bmatrix} = \begin{bmatrix} \hat{E}_A \\ \alpha^2 \hat{E}_A \\ \alpha \hat{E}_A \end{bmatrix} = \begin{bmatrix} 1 \\ \alpha^2 \\ \alpha \end{bmatrix} \cdot \hat{E}_A$$

- E:

$$\hat{V}_A = \hat{E}_A - jX_d \hat{I}_A$$

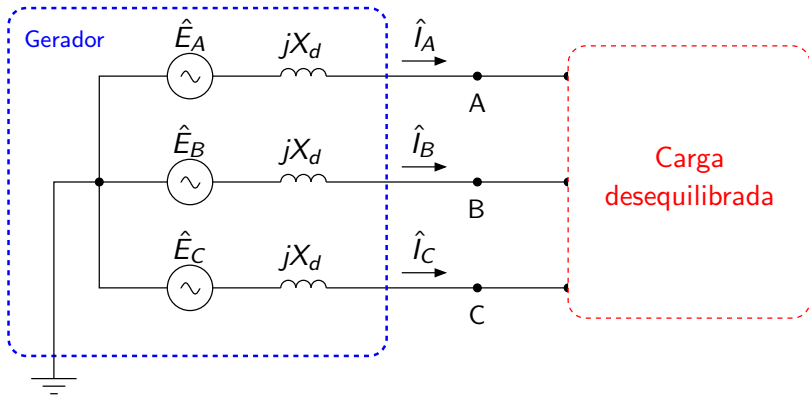
$$\hat{V}_B = \hat{E}_B - jX_d \hat{I}_B$$

$$\hat{V}_C = \hat{E}_C - jX_d \hat{I}_C$$

$$\begin{bmatrix} \hat{V}_A \\ \hat{V}_B \\ \hat{V}_C \end{bmatrix} = \begin{bmatrix} \hat{E}_A \\ \hat{E}_B \\ \hat{E}_C \end{bmatrix} - \begin{bmatrix} jX_d & 0 & 0 \\ 0 & jX_d & 0 \\ 0 & 0 & jX_d \end{bmatrix} \cdot \begin{bmatrix} \hat{I}_A \\ \hat{I}_B \\ \hat{I}_C \end{bmatrix} \rightarrow \mathbf{V}_P = \mathbf{E}_P - \mathbf{Z}_C \cdot \mathbf{I}_P$$

## 4.2. Equações para elementos ativos

- Considere agora gerador síncrono operando sob condição genérica de desequilíbrio:



## 4.2. Equações para elementos ativos

- A matriz  $\mathbf{Z}_C$  toma a seguinte forma:

$$\mathbf{Z}_C = \begin{bmatrix} Z_1 & Z_2 & Z_3 \\ Z_3 & Z_1 & Z_2 \\ Z_2 & Z_3 & Z_1 \end{bmatrix}$$

- E:

$$\mathbf{V}_P = \mathbf{E}_P - \mathbf{Z}_C \cdot \mathbf{I}_P$$

$$\mathbf{T}\mathbf{V}_S = \mathbf{E}_P - \mathbf{Z}_C \cdot \mathbf{T}\mathbf{I}_S \quad (\cdot \mathbf{T}^{-1})$$

$$\mathbf{V}_S = \mathbf{T}^{-1}\mathbf{E}_P - \underbrace{\mathbf{T}^{-1}\mathbf{Z}_C \cdot \mathbf{T}}_{\mathbf{Z}_S} \mathbf{I}_S$$

$$\mathbf{V}_S = \mathbf{E}_S - \mathbf{Z}_S \cdot \mathbf{I}_S$$

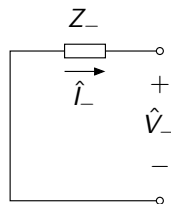
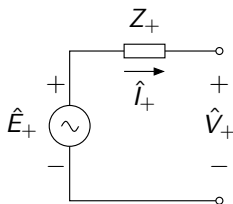
## 4.2. Equações para elementos ativos

$$\mathbf{V}_S = \mathbf{E}_S - \mathbf{Z}_S \cdot \mathbf{I}_S$$

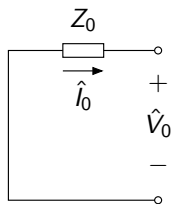
$$\begin{bmatrix} \hat{V}_+ \\ \hat{V}_- \\ \hat{V}_0 \end{bmatrix} = \begin{bmatrix} \hat{E}_A \\ 0 \\ 0 \end{bmatrix} - \begin{bmatrix} Z_1 + \alpha^2 Z_2 + \alpha Z_3 & 0 & 0 \\ 0 & Z_1 + \alpha Z_2 + \alpha^2 Z_3 & 0 \\ 0 & 0 & Z_1 + Z_2 + Z_3 \end{bmatrix} \cdot \begin{bmatrix} \hat{I}_+ \\ \hat{I}_- \\ \hat{I}_0 \end{bmatrix}$$

$$\begin{bmatrix} \hat{V}_+ \\ \hat{V}_- \\ \hat{V}_0 \end{bmatrix} = \begin{bmatrix} \hat{E}_A \\ 0 \\ 0 \end{bmatrix} - \begin{bmatrix} Z_+ & 0 & 0 \\ 0 & Z_- & 0 \\ 0 & 0 & Z_0 \end{bmatrix} \cdot \begin{bmatrix} \hat{I}_+ \\ \hat{I}_- \\ \hat{I}_0 \end{bmatrix}$$

## 4.2. Equações para elementos ativos

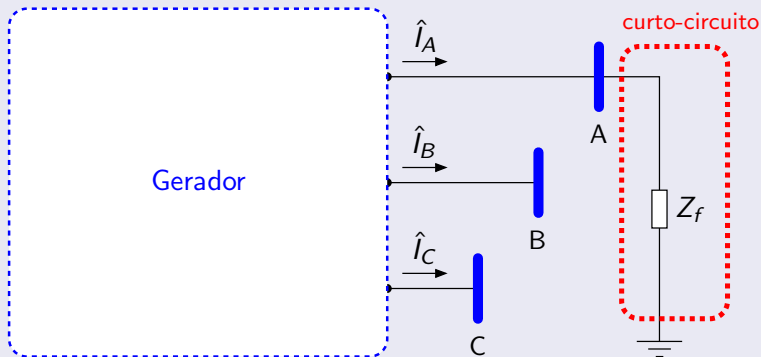


$$\begin{bmatrix} \hat{V}_+ \\ \hat{V}_- \\ \hat{V}_0 \end{bmatrix} = \begin{bmatrix} \hat{E}_A \\ 0 \\ 0 \end{bmatrix} - \begin{bmatrix} Z_+ & 0 & 0 \\ 0 & Z_- & 0 \\ 0 & 0 & Z_0 \end{bmatrix} \cdot \begin{bmatrix} \hat{I}_+ \\ \hat{I}_- \\ \hat{I}_0 \end{bmatrix}$$



### Exemplo

Considere que o gerador trifásico a seguir está sujeito a um curto-circuito monofásico (fase-terra), com impedância de curto-circuito  $Z_f$ . Calcule a corrente de curto-circuito.



### Exemplo

- Inspeccionado o circuito tem-se:

$$\hat{V}_A = Z_f \hat{I}_A \qquad \hat{I}_B = \hat{I}_C$$

- Logo:

$$\mathbf{I}_P = [\hat{I}_A \ 0 \ 0]^T$$

$$\mathbf{I}_S = \mathbf{T}^{-1} \mathbf{I}_P = \frac{1}{3} \begin{bmatrix} 1 & \alpha & \alpha^2 \\ 1 & \alpha^2 & \alpha \\ 1 & 1 & 1 \end{bmatrix} \cdot \begin{bmatrix} \hat{I}_A \\ 0 \\ 0 \end{bmatrix} = \frac{1}{3} \begin{bmatrix} \hat{I}_A \\ \hat{I}_A \\ \hat{I}_A \end{bmatrix}$$

$$\hat{I}_+ = \hat{I}_- = \hat{I}_0 = \frac{1}{3} \hat{I}_A$$



### Exemplo

- Lembrando das equações do slide 126:

$$\hat{V}_+ = \hat{E}_A - Z_+ \cdot (\hat{I}_A/3)$$

$$\hat{V}_- = 0 - Z_- \cdot (\hat{I}_A/3)$$

$$\hat{V}_0 = 0 - Z_0 \cdot (\hat{I}_A/3)$$

- As tensões de fase são:

$$\mathbf{V}_P = \begin{bmatrix} \hat{V}_A \\ \hat{V}_B \\ \hat{V}_C \end{bmatrix} = \mathbf{T} \cdot \mathbf{V}_S = \begin{bmatrix} 1 & 1 & 1 \\ 1 & \alpha^2 & \alpha \\ 1 & \alpha & \alpha^2 \end{bmatrix} \cdot \begin{bmatrix} \hat{V}_+ \\ \hat{V}_- \\ \hat{V}_0 \end{bmatrix}$$

$$\hat{V}_A = \hat{V}_+ + \hat{V}_- + \hat{V}_0$$

### Exemplo

- Logo:

$$\begin{aligned}\hat{V}_A &= \hat{V}_+ + \hat{V}_- + \hat{V}_0 \\ &= \left[ \hat{E}_A - Z_+ \cdot \left( \hat{I}_A/3 \right) \right] + \left[ 0 - Z_- \cdot \left( \hat{I}_A/3 \right) \right] + \left[ 0 - Z_0 \cdot \left( \hat{I}_A/3 \right) \right] = Z_f \hat{I}_A\end{aligned}$$

$$\hat{I}_A = \frac{\hat{E}_A}{\frac{1}{3}(Z_+ + Z_- + Z_0) + Z_f} = \frac{3\hat{E}_A}{(Z_+ + Z_- + Z_0) + 3Z_f} \quad \text{corrente de c.c.}$$

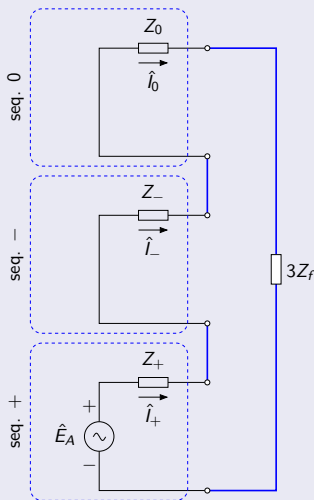
$$\hat{I}_+ = \hat{I}_- = \hat{I}_0 = \frac{\hat{I}_A}{3} = \frac{\hat{E}_A}{(Z_+ + Z_- + Z_0) + 3Z_f}$$

### Exemplo

- Note que:

$$\hat{I}_+ = \hat{I}_- = \hat{I}_0 = \frac{\hat{I}_A}{3} = \frac{\hat{E}_A}{(Z_+ + Z_- + Z_0) + 3Z_f}$$

leva ao circuito:



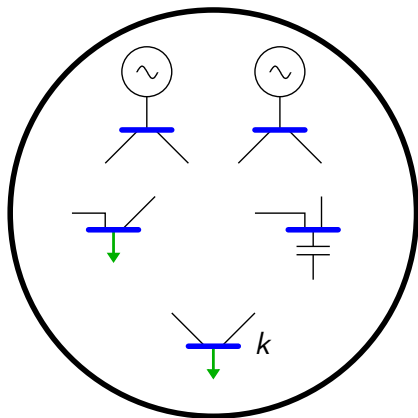
### Exercícios propostos

3

### 4.3. Cálculo de curto-circuito monofásico (fase-terra)

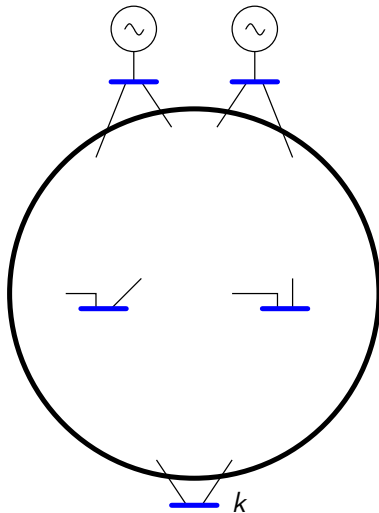
- Inicialmente, será útil relembrar os passos para o cálculo de curto-circuito trifásico, mostrado na seção 3.2

- Considere o seguinte sistema de potência operando em condições normais:

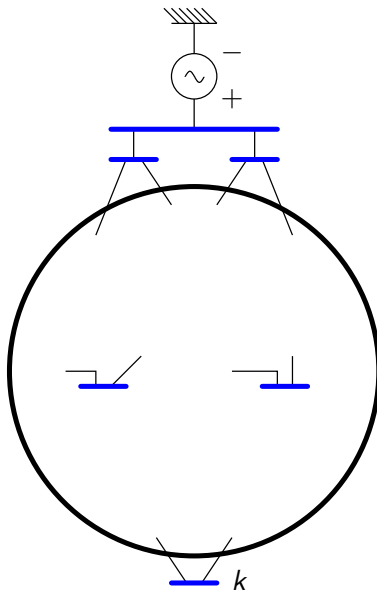


### 4.3. Cálculo de curto-circuito monofásico (fase-terra)

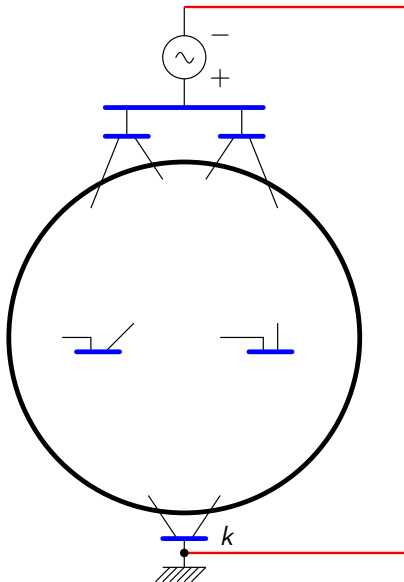
- Considere agora um curto-circuito na barra  $k$ :



### 4.3. Cálculo de curto-circuito monofásico (fase-terra)

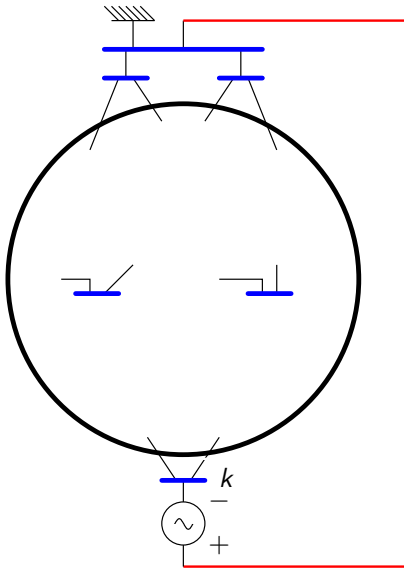


### 4.3. Cálculo de curto-circuito monofásico (fase-terra)

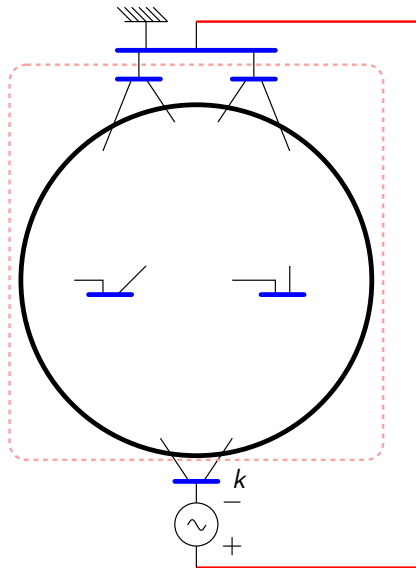




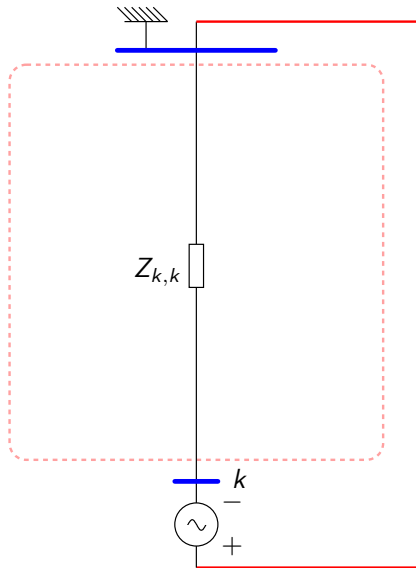
### 4.3. Cálculo de curto-circuito monofásico (fase-terra)



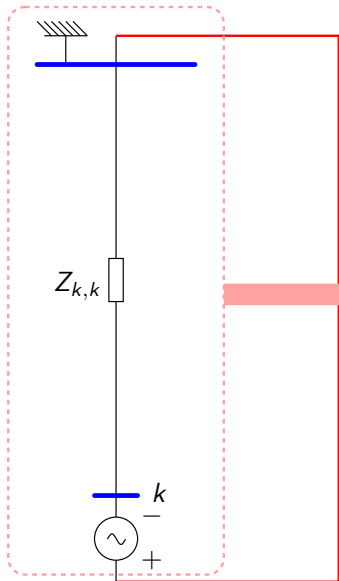
### 4.3. Cálculo de curto-circuito monofásico (fase-terra)



### 4.3. Cálculo de curto-circuito monofásico (fase-terra)



### 4.3. Cálculo de curto-circuito monofásico (fase-terra)

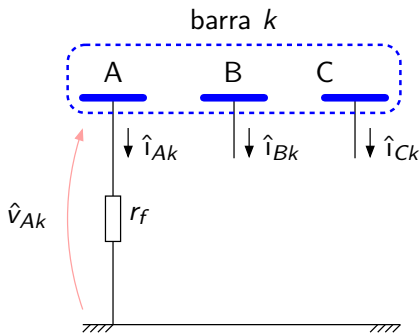


Similar ao gerador  
em curto-circuito:

$$V_P = E_P - Z_C \cdot I_P$$

### 4.3. Cálculo de curto-circuito monofásico (fase-terra)

- Considere agora um sistema de potência de  $n$  barras, e que o curto-circuito na barra  $k$  seja monofásico (entre a fase A e terra):



- Por inspeção:

$$\hat{I}_{Bk} = \hat{I}_{Ck} = 0$$

$$\hat{V}_{Ak} = r_f \cdot \hat{I}_{Ak}$$

### 4.3. Cálculo de curto-circuito monofásico (fase-terra)

- Correntes:

$$\mathbf{I}_S = \mathbf{T}^{-1} \cdot \mathbf{I}_P$$
$$\begin{bmatrix} \hat{I}_{+k} \\ \hat{I}_{-k} \\ \hat{I}_{0k} \end{bmatrix} = \frac{1}{3} \begin{bmatrix} 1 & \alpha & \alpha^2 \\ 1 & \alpha^2 & \alpha \\ 1 & 1 & 1 \end{bmatrix} \cdot \begin{bmatrix} \hat{I}_{Ak} \\ 0 \\ 0 \end{bmatrix}$$

$$\hat{I}_{+k} = \hat{I}_{Ak}/3$$

$$\hat{I}_{-k} = \hat{I}_{Ak}/3$$

$$\hat{I}_{0k} = \hat{I}_{Ak}/3$$

### 4.3. Cálculo de curto-circuito monofásico (fase-terra)

- Tensões:

$$\begin{bmatrix} \hat{v}_{+k} \\ \hat{v}_{-k} \\ \hat{v}_{0k} \end{bmatrix} = \begin{bmatrix} \hat{e}_A \\ 0 \\ 0 \end{bmatrix} - \begin{bmatrix} Z_{k,k}^+ & 0 & 0 \\ 0 & Z_{k,k}^- & 0 \\ 0 & 0 & Z_{k,k}^0 \end{bmatrix} \cdot \begin{bmatrix} \hat{i}_{Ak}/3 \\ \hat{i}_{Ak}/3 \\ \hat{i}_{Ak}/3 \end{bmatrix}$$

$$\hat{v}_{+k} = \hat{e}_A - Z_{k,k}^+ \hat{i}_{Ak}/3$$

$$\hat{v}_{-k} = -Z_{k,k}^- \hat{i}_{Ak}/3$$

$$\hat{v}_{0k} = -Z_{k,k}^0 \hat{i}_{Ak}/3$$

### 4.3. Cálculo de curto-circuito monofásico (fase-terra)

$$\hat{v}_{Ak} = \hat{v}_{+k} + \hat{v}_{-k} + \hat{v}_{0k} = r_f \hat{i}_{Ak}$$

$$r_f \cdot \hat{i}_{Ak} = \hat{e}_A - \left( Z_{k,k}^+ + Z_{k,k}^- + Z_{k,k}^0 \right) \hat{i}_{Ak} / 3$$

$$\hat{i}_{Ak} = \frac{3\hat{e}_A}{\left( Z_{k,k}^+ + Z_{k,k}^- + Z_{k,k}^0 + 3r_f \right)}$$

$$\hat{i}_{+k} = \hat{i}_{-k} = \hat{i}_{0k} = \frac{\hat{e}_A}{\left( Z_{k,k}^+ + Z_{k,k}^- + Z_{k,k}^0 + 3r_f \right)}$$

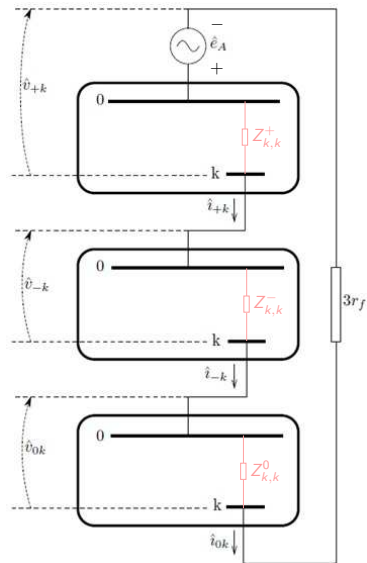


## 4.2. Equações para elementos ativos

- Note que:

$$\hat{i}_{+k} = \hat{i}_{-k} = \hat{i}_{0k} = \frac{\hat{e}_A}{(Z_{k,k}^+ + Z_{k,k}^- + Z_{k,k}^0 + 3r_f)}$$

leva ao circuito:



### 4.3. Cálculo de curto-circuito monofásico (fase-terra)

- Considerando:

$$\begin{aligned}\hat{e}_A &= -1,0 \text{ pu} \\ Z_{k,k}^- &= Z_{k,k}^+ \\ r_f &= 0\end{aligned}$$

tem-se:

$$\hat{i}_{+k} = \hat{i}_{-k} = \hat{i}_{0k} = \frac{-1,0}{\left(2Z_{k,k}^+ + Z_{k,k}^0\right)}$$

### 4.3. Cálculo de curto-circuito monofásico (fase-terra)

- Resumo do equacionamento para um curto-circuito monofásico na barra  $k$ :
  - Correntes:

$$\hat{I}_{Ak} = 3\hat{I}_{+k} = 3\hat{I}_{-k} = 3\hat{I}_{0k} = \frac{-3,0}{\left(2Z_{k,k}^{+} + Z_{k,k}^{0}\right)}$$
$$\hat{I}_{Bk} = \hat{I}_{Ck} = 0,0$$

### 4.3. Cálculo de curto-circuito monofásico (fase-terra)

- Tensões de sequência positiva:

$$\mathbf{Z}^+ \mathbf{I}_+ = \mathbf{V}_+$$

$$\begin{bmatrix} Z_{1,1}^+ & \dots & Z_{1,k}^+ & \dots & Z_{1,p}^+ & Z_{1,q}^+ & \dots & Z_{1,n}^+ \\ \dots & \dots & \dots & \dots & \dots & \dots & \dots & \dots \\ Z_{k,1}^+ & \dots & Z_{k,k}^+ & \dots & Z_{k,p}^+ & Z_{k,q}^+ & \dots & Z_{k,n}^+ \\ \dots & \dots & \dots & \dots & \dots & \dots & \dots & \dots \\ Z_{p,1}^+ & \dots & Z_{p,k}^+ & \dots & Z_{p,p}^+ & Z_{p,q}^+ & \dots & Z_{p,n}^+ \\ Z_{q,1}^+ & \dots & Z_{q,k}^+ & \dots & Z_{q,p}^+ & Z_{q,q}^+ & \dots & Z_{q,n}^+ \\ \dots & \dots & \dots & \dots & \dots & \dots & \dots & \dots \\ Z_{n,1}^+ & \dots & Z_{n,k}^+ & \dots & Z_{n,p}^+ & Z_{n,q}^+ & \dots & Z_{n,n}^+ \end{bmatrix} \cdot \begin{bmatrix} 0 \\ \vdots \\ \frac{-1,0}{2Z_{k,k}^+ + Z_{k,k}^0} \\ \vdots \\ 0 \\ 0 \\ \vdots \\ 0 \end{bmatrix} = \begin{bmatrix} \frac{-Z_{1,k}^+}{2Z_{k,k}^+ + Z_{k,k}^0} \\ \vdots \\ \frac{-Z_{k,k}^+}{2Z_{k,k}^+ + Z_{k,k}^0} \\ \vdots \\ \frac{-Z_{p,k}^+}{2Z_{k,k}^+ + Z_{k,k}^0} \\ \frac{-Z_{q,k}^+}{2Z_{k,k}^+ + Z_{k,k}^0} \\ \vdots \\ \frac{-Z_{n,k}^+}{2Z_{k,k}^+ + Z_{k,k}^0} \end{bmatrix}$$

$$v_{+i}^r = 1 + v_{+i} = 1 - \frac{Z_{i,k}^+}{2Z_{k,k}^+ + Z_{k,k}^0}$$

### 4.3. Cálculo de curto-circuito monofásico (fase-terra)

- Tensões de sequência negativa:

$$\mathbf{Z}^+ \mathbf{I}_- = \mathbf{V}_-$$

$$\begin{bmatrix} Z_{1,1}^+ & \dots & Z_{1,k}^+ & \dots & Z_{1,p}^+ & Z_{1,q}^+ & \dots & Z_{1,n}^+ \\ \dots & \dots & \dots & \dots & \dots & \dots & \dots & \dots \\ Z_{k,1}^+ & \dots & Z_{k,k}^+ & \dots & Z_{k,p}^+ & Z_{k,q}^+ & \dots & Z_{k,n}^+ \\ \dots & \dots & \dots & \dots & \dots & \dots & \dots & \dots \\ Z_{p,1}^+ & \dots & Z_{p,k}^+ & \dots & Z_{p,p}^+ & Z_{p,q}^+ & \dots & Z_{p,n}^+ \\ Z_{q,1}^+ & \dots & Z_{q,k}^+ & \dots & Z_{q,p}^+ & Z_{q,q}^+ & \dots & Z_{q,n}^+ \\ \dots & \dots & \dots & \dots & \dots & \dots & \dots & \dots \\ Z_{n,1}^+ & \dots & Z_{n,k}^+ & \dots & Z_{n,p}^+ & Z_{n,q}^+ & \dots & Z_{n,n}^+ \end{bmatrix} \cdot \begin{bmatrix} 0 \\ \dots \\ \frac{-1,0}{2Z_{k,k}^+ + Z_{k,k}^0} \\ \dots \\ 0 \\ 0 \\ \dots \\ 0 \end{bmatrix} = \begin{bmatrix} \frac{-Z_{1,k}^+}{2Z_{k,k}^+ + Z_{k,k}^0} \\ \dots \\ \frac{-Z_{k,k}^+}{2Z_{k,k}^+ + Z_{k,k}^0} \\ \dots \\ \frac{-Z_{p,k}^+}{2Z_{k,k}^+ + Z_{k,k}^0} \\ \frac{-Z_{q,k}^+}{2Z_{k,k}^+ + Z_{k,k}^0} \\ \dots \\ \frac{-Z_{n,k}^+}{2Z_{k,k}^+ + Z_{k,k}^0} \end{bmatrix}$$

$$v_{-i}^r = 0 + v_{-i} = -\frac{Z_{i,k}^+}{2Z_{k,k}^+ + Z_{k,k}^0}$$

### 4.3. Cálculo de curto-circuito monofásico (fase-terra)

- Tensões de sequência zero:

$$\mathbf{Z}^0 \mathbf{I}_0 = \mathbf{V}_0$$

$$\begin{bmatrix} Z_{1,1}^0 & \dots & Z_{1,k}^0 & \dots & Z_{1,p}^0 & Z_{1,q}^0 & \dots & Z_{1,n}^0 \\ \dots & \dots & \dots & \dots & \dots & \dots & \dots & \dots \\ Z_{k,1}^0 & \dots & Z_{k,k}^0 & \dots & Z_{k,p}^0 & Z_{k,q}^0 & \dots & Z_{k,n}^0 \\ \dots & \dots & \dots & \dots & \dots & \dots & \dots & \dots \\ Z_{p,1}^0 & \dots & Z_{p,k}^0 & \dots & Z_{p,p}^0 & Z_{p,q}^0 & \dots & Z_{p,n}^0 \\ Z_{q,1}^0 & \dots & Z_{q,k}^0 & \dots & Z_{q,p}^0 & Z_{q,q}^0 & \dots & Z_{q,n}^0 \\ \dots & \dots & \dots & \dots & \dots & \dots & \dots & \dots \\ Z_{n,1}^0 & \dots & Z_{n,k}^0 & \dots & Z_{n,p}^0 & Z_{n,q}^0 & \dots & Z_{n,n}^0 \end{bmatrix} \cdot \begin{bmatrix} 0 \\ \vdots \\ \frac{-1,0}{2Z_{k,k}^+ + Z_{k,k}^0} \\ \vdots \\ 0 \\ 0 \\ \vdots \\ 0 \end{bmatrix} = \begin{bmatrix} \frac{-Z_{1,k}^0}{2Z_{k,k}^+ + Z_{k,k}^0} \\ \vdots \\ \frac{-Z_{k,k}^0}{2Z_{k,k}^+ + Z_{k,k}^0} \\ \vdots \\ \frac{-Z_{p,k}^0}{2Z_{k,k}^+ + Z_{k,k}^0} \\ \frac{-Z_{q,k}^0}{2Z_{k,k}^+ + Z_{k,k}^0} \\ \vdots \\ \frac{-Z_{n,k}^0}{2Z_{k,k}^+ + Z_{k,k}^0} \end{bmatrix}$$

$$v_{0i}^r = 0 + v_{0i} = -\frac{Z_{i,k}^0}{2Z_{k,k}^+ + Z_{k,k}^0}$$

### 4.3. Cálculo de curto-circuito monofásico (fase-terra)

- Tensões de fase nas barras:

$$\hat{V}_{Ai} = \hat{V}_{+i}^r + \hat{V}_{-i}^r + \hat{V}_{0i}^r$$

$$\hat{V}_{Bi} = \alpha^2 \hat{V}_{+i}^r + \alpha \hat{V}_{-i}^r + \hat{V}_{0i}^r$$

$$\hat{V}_{Ci} = \alpha \hat{V}_{+i}^r + \alpha^2 \hat{V}_{-i}^r + \hat{V}_{0i}^r$$

$$\hat{V}_{Ai} = 1,0 - \frac{2Z_{i,k}^+ + Z_{i,k}^0}{2Z_{k,k}^+ + Z_{k,k}^0}$$

$$\hat{V}_{Bi} = \alpha^2 - \frac{Z_{i,k}^0 - Z_{i,k}^+}{2Z_{k,k}^+ + Z_{k,k}^0}$$

$$\hat{V}_{Ci} = \alpha - \frac{Z_{i,k}^0 - Z_{i,k}^+}{2Z_{k,k}^+ + Z_{k,k}^0}$$

### 4.3. Cálculo de curto-circuito monofásico (fase-terra)

- Fluxos de corrente de sequência positiva nas linhas:

$$\begin{aligned}\hat{I}_{+p-q} &= \frac{\hat{V}_{+p}^r - \hat{V}_{+q}^r}{Z_{p-q}^+} \\ &= \left( \frac{Z_{q,k}^+ - Z_{p,k}^+}{2Z_{k,k}^+ + Z_{k,k}^0} \right) \frac{1,0}{Z_{p-q}^+}\end{aligned}$$

- Fluxos de corrente de sequência negativa nas linhas:

$$\begin{aligned}\hat{I}_{-p-q} &= \frac{\hat{V}_{-p}^r - \hat{V}_{-q}^r}{Z_{p-q}^+} \\ &= \left( \frac{Z_{q,k}^+ - Z_{p,k}^+}{2Z_{k,k}^+ + Z_{k,k}^0} \right) \frac{1,0}{Z_{p-q}^+}\end{aligned}$$



### 4.3. Cálculo de curto-circuito monofásico (fase-terra)

- Fluxos de corrente de sequência zero nas linhas:

$$\begin{aligned}\hat{I}_{0p-q} &= \frac{\hat{V}_{0p}^r - \hat{V}_{0q}^r}{Z_{p-q}^0} \\ &= \left( \frac{Z_{q,k}^0 - Z_{p,k}^0}{2Z_{k,k}^+ + Z_{k,k}^0} \right) \frac{1,0}{Z_{p-q}^0}\end{aligned}$$

### 4.3. Cálculo de curto-circuito monofásico (fase-terra)

- Fluxos de corrente de fase nas linhas:

$$\hat{I}_{Ap-q} = \hat{I}_{+p-q} + \hat{I}_{-p-q} + \hat{I}_{0p-q}$$

$$\hat{I}_{Bp-q} = \alpha^2 \hat{I}_{+p-q} + \alpha \hat{I}_{-p-q} + \hat{I}_{0p-q}$$

$$\hat{I}_{Cp-q} = \alpha \hat{I}_{+p-q} + \alpha^2 \hat{I}_{-p-q} + \hat{I}_{0p-q}$$

$$\hat{I}_{Ap-q} = \frac{1}{2Z_{k,k}^+ + Z_{k,k}^0} \left[ 2 \frac{Z_{q,k}^+ - Z_{p,k}^+}{z_{p-q}^+} + \frac{Z_{q,k}^0 - Z_{p,k}^0}{z_{p-q}^0} \right]$$

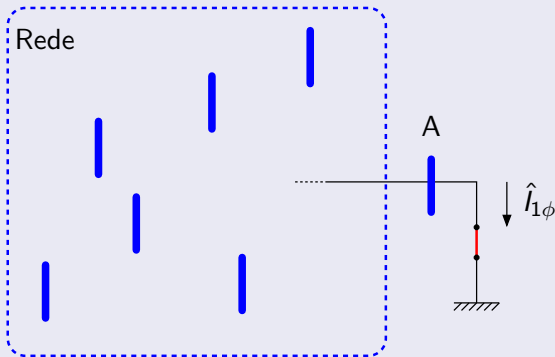
$$\hat{I}_{Bp-q} = \frac{1}{2Z_{k,k}^+ + Z_{k,k}^0} \left[ \frac{Z_{q,k}^+ - Z_{p,k}^+}{z_{p-q}^+} + \frac{Z_{q,k}^0 - Z_{p,k}^0}{z_{p-q}^0} \right]$$

$$\hat{I}_{Cp-q} = \hat{I}_{Bp-q}$$

### 4.3. Cálculo de curto-circuito monofásico (fase-terra)

#### Capacidade de curto-circuito (SCC) monofásico

- Considere novamente a rede a seguir, agora sujeita a um curto-circuito monofásico na barra A.



#### Capacidade de curto-circuito (SCC) monofásico

- A **capacidade de curto-circuito** monofásica é definida como:

$$SCC_{1\phi} = \hat{V}_f \hat{I}_{1\phi}^* \text{ [VA]}$$

- Adotando a potência de base monofásica  $S_{b,1\phi} = V_b I_b$ :

$$\begin{aligned} SCC_{1\phi} &= \hat{v}_f \hat{i}_{1\phi}^* \text{ [pu]} \\ &\approx \hat{i}_{1\phi}^* \text{ [pu]} \end{aligned}$$

## Capacidade de curto-circuito (SCC) monofásico

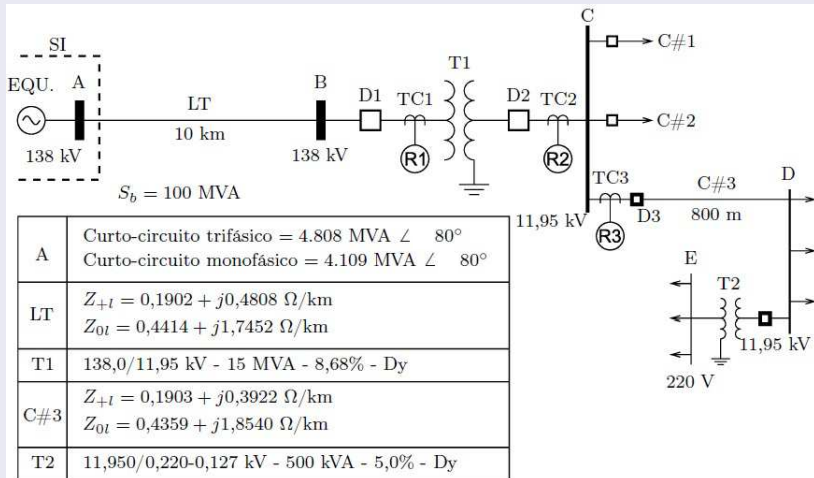
- A partir de desenvolvimentos anteriores:

$$\begin{aligned} \text{SCC}_{1\phi} = \hat{I}_{1\phi}^* &= \left( \frac{3}{2z^+ + z^0} \right)^* \\ z^0 &= \frac{3}{\text{SCC}_{1\phi}^*} - 2z^+ \\ &= \frac{3}{\text{SCC}_{1\phi}^*} - \frac{2}{\text{SCC}_{3\phi}^*} [\text{pu}] \end{aligned}$$

### 4.3. Cálculo de curto-circuito monofásico (fase-terra)

#### Exemplo

Considere o seguinte sistema radial:



#### Exemplo

Antes do cálculo de curto-circuito, é necessário obter todos os parâmetros da rede:

- Fonte (equivalente do restante da rede):

$$\begin{aligned}Z_{+s} &= \frac{S_b}{SCC_{3\phi}^*} = \frac{100}{4808 \angle -80^\circ} \\&= 0,0208 \angle 80^\circ \rightarrow 2,08 \angle 80^\circ \%\end{aligned}$$

$$\begin{aligned}Z_{0s} &= \frac{3S_b}{SCC_{1\phi}^*} - \frac{2S_b}{SCC_{3\phi}^*} = \frac{3 \cdot 100}{4109 \angle -80^\circ} - \frac{2 \cdot 100}{4808 \angle -80^\circ} \\&= 0,0314 \angle 80^\circ \rightarrow 3,14 \angle -80^\circ \%\end{aligned}$$

#### Exemplo

- Linha de transmissão:

$$\begin{aligned} z_{+LT} &= (0,1902 + j 0,4808) \cdot 10 \cdot \frac{100}{138^2} \\ &= 0,0272 \angle 68,42^\circ \rightarrow 2,72 \angle 68,42^\circ \% \end{aligned}$$

$$\begin{aligned} z_{0LT} &= (0,4414 + j 1,7452) \cdot 10 \cdot \frac{100}{138^2} \\ &= 0,0945 \angle 75,81^\circ \rightarrow 9,45 \angle 75,81^\circ \% \end{aligned}$$

- Transformador 1:

$$\begin{aligned} z_{+T1} &= j \frac{8,68}{100} \cdot \frac{138^2}{15} \cdot \frac{100}{138^2} \\ &= j 0,5787 \rightarrow j 57,87 \% \end{aligned}$$



#### Exemplo

- Linha de distribuição:

$$\begin{aligned} z_{+LD} &= (0,1903 + j 0,3922) \cdot 0,8 \cdot \frac{100}{11,95^2} \\ &= 0,2442 \angle 64,12^\circ \rightarrow 24,42 \angle 64,12^\circ \% \end{aligned}$$

$$\begin{aligned} z_{0LD} &= (0,4359 + j 1,8540) \cdot 0,8 \cdot \frac{100}{11,95^2} \\ &= 1,0670 \angle 76,77^\circ \rightarrow 106,70 \angle 76,77^\circ \% \end{aligned}$$

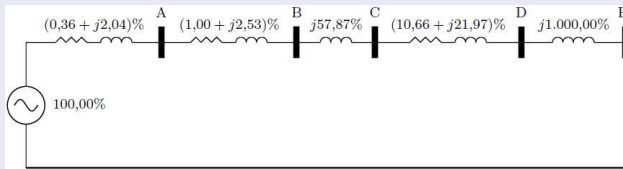
- Transformador 2:

$$\begin{aligned} z_{+T2} &= j \frac{5}{100} \cdot \frac{11,95^2}{0,5} \cdot \frac{100}{11,95^2} \\ &= j 10 \rightarrow j 1000 \% \end{aligned}$$

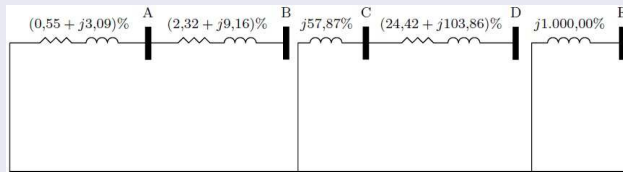
### 4.3. Cálculo de curto-circuito monofásico (fase-terra)

#### Exemplo

- Circuito de sequência positiva:



- Circuito de sequência zero:



#### Exemplo

- Considerando um curto-circuito monofásico na barra D, tem-se:

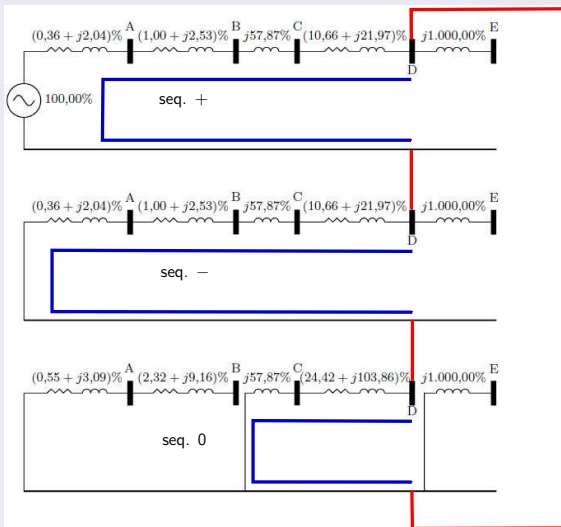
$$\hat{I}_{+} = \hat{I}_{-} = \hat{I}_0 = \frac{\hat{I}_{cc1\phi}}{3} = \frac{1}{Z_{+eq} + Z_{-eq} + Z_{0eq}}$$

$$\hat{I}_{cc1\phi} = \frac{3}{Z_{+eq} + Z_{-eq} + Z_{0eq}}$$

$$\hat{I}_{cc1\phi} = \hat{I}_{cc1\phi} \cdot \left( \frac{1000 \cdot S_b}{\sqrt{3} \cdot V_b} \right)$$

### 4.3. Cálculo de curto-circuito monofásico (fase-terra)

#### Exemplo



#### Exemplo

As impedâncias equivalentes de sequência positiva (soma das impedâncias, desde a fonte até a barra D) e zero (soma das impedâncias até a barra D) são, respectivamente:

$$Z_{+eq} = 12,02 + j 84,41 \% = Z_{-eq}$$

$$Z_{0eq} = 24,42 + j 161,73 \%$$

Logo:

$$\hat{I}_+ = \hat{I}_- = \hat{I}_0 = \frac{100}{Z_{+eq} + Z_{-eq} + Z_{0eq}} = \frac{100}{334,086 \angle 81,66^\circ} = 0,2996 \angle -81,66^\circ \text{ pu}$$

$$\hat{I}_{cc1\phi} = \frac{300}{334,086 \angle 81,66^\circ} = 0,898 \angle -81,66^\circ \text{ pu}$$

$$\hat{I}_{cc1\phi} = 0,898 \angle -81,66^\circ \cdot \left( \frac{1000 \cdot 100}{\sqrt{3} \cdot 11,95} \right) = 4338,5 \angle -81,66^\circ \text{ A}$$

### 4.3. Cálculo de curto-circuito monofásico (fase-terra)

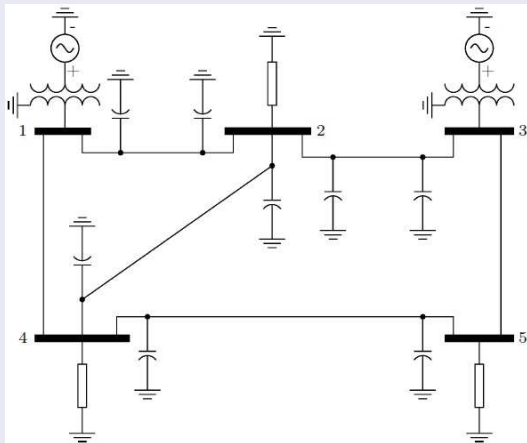
#### Exercícios propostos

4, 6

### 4.3. Cálculo de curto-circuito monofásico (fase-terra)

#### Exemplo

Considere agora o sistema malhado de 500 kV, assim como seus dados:



DE	PARA	$x_+ \%$	$x_0 \%$
0	1	$j2,27$	$j0,77$
0	3	$j4,16$	$j1,05$
1	2	$j2,47$	$j10,63$
2	4	$j2,47$	$j10,63$
2	3	$j2,68$	$j11,48$
1	4	$j2,42$	$j10,40$
4	5	$j3,06$	$j13,04$
3	5	$j2,73$	$j11,70$

### 4.3. Cálculo de curto-circuito monofásico (fase-terra)

#### Exemplo

As matrizes impedância desta rede são:

$$[Z_{BARRA}^+] = \begin{bmatrix} j1,7295 & j1,4072 & j0,9905 & j1,4690 & j1,2161 \\ j1,4072 & j2,4659 & j1,5811 & j1,8702 & j1,7174 \\ j0,9905 & j1,5811 & j2,3447 & j1,4679 & j1,9313 \\ j1,4690 & j1,8702 & j1,4679 & j2,6420 & j2,0215 \\ j1,2161 & j1,7174 & j1,9313 & j2,0215 & j3,4166 \end{bmatrix} \%$$

$$[Z_{BARRA}^0] = \begin{bmatrix} j0,7308 & j0,4346 & j0,0534 & j0,4913 & j0,2605 \\ j0,4346 & j4,6660 & j0,4574 & j2,1644 & j1,2647 \\ j0,0534 & j0,4574 & j0,9771 & j0,3801 & j0,6948 \\ j0,4913 & j2,1644 & j0,3801 & j5,4898 & j2,7966 \\ j0,2605 & j1,2647 & j0,6948 & j2,7966 & j7,8556 \end{bmatrix} \%$$



#### Exemplo

Corrente de curto-circuito monofásico na barra 5:

$$\hat{I}_{+5} = \hat{I}_{-5} = \hat{I}_{05} = \frac{100}{2Z_{5,5}^{+} + Z_{5,5}^{0}} = \frac{100}{2 \cdot j 3,4166 + j 7,8556} = -j 6,81 \text{ pu}$$

$$\hat{I}_{cc1\phi A5} = 3(-j 6,81) = -j 20,424 \text{ pu}$$

$$\hat{I}_{cc1\phi A5} = -j 20,424 \cdot \left( \frac{1000 \cdot 100}{\sqrt{3} \cdot 500} \right) = -j 2358,3 \text{ A}$$

#### Exemplo

Tensão na barra 4:

$$\hat{V}_{A4} = 1,0 - \frac{2Z_{4,5}^+ + Z_{4,5}^0}{2Z_{5,5}^+ + Z_{5,5}^0} = 0,5346 \angle 0^\circ \text{ pu}$$

$$\hat{V}_{B4} = \alpha^2 - \frac{Z_{4,5}^0 - Z_{4,5}^+}{2Z_{5,5}^+ + Z_{5,5}^0} = 1,027 \angle 237,5^\circ \text{ pu}$$

$$\hat{V}_{C4} = \alpha - \frac{Z_{4,5}^0 - Z_{4,5}^+}{2Z_{5,5}^+ + Z_{5,5}^0} = 1,027 \angle 122,5^\circ \text{ pu}$$

$$\hat{V}_{A4} = 0,5346 \angle 0^\circ \cdot \left( \frac{500}{\sqrt{3}} \right) = 154,26 \angle 0^\circ \text{ kV}$$

$$\hat{V}_{B4} = 1,027 \angle 237,5^\circ \cdot \left( \frac{500}{\sqrt{3}} \right) = 296,56 \angle 237,5^\circ \text{ kV}$$

$$\hat{V}_{C4} = 1,027 \angle 122,5^\circ \cdot \left( \frac{500}{\sqrt{3}} \right) = 296,56 \angle 122,5^\circ \text{ kV}$$

### 4.3. Cálculo de curto-circuito monofásico (fase-terra)

#### Exemplo

Fluxo de corrente na linha 2-4:

$$\hat{I}_{A2-4} = \frac{100}{2Z_{5,5}^+ + Z_{5,5}^0} \left[ \frac{2Z_{4,5}^+ - Z_{2,5}^+}{z_{2-4}^+} + \frac{Z_{4,5}^0 - Z_{2,5}^0}{z_{2-4}^0} \right] = -j 2,657 \text{ pu}$$

$$\hat{I}_{B2-4} = \frac{100}{2Z_{5,5}^+ + Z_{5,5}^0} \left[ \frac{Z_{2,5}^+ - Z_{4,5}^+}{z_{2-4}^+} + \frac{Z_{4,5}^0 - Z_{2,5}^0}{z_{2-4}^0} \right] = -j 0,143 \text{ pu}$$

$$\hat{I}_{C2-4} = \hat{I}_{B2-4}$$

$$\hat{I}_{A2-4} = -j 2,657 \left( \frac{100000}{\sqrt{3} \cdot 500} \right) = -j 306,8 \text{ A}$$

$$\hat{I}_{B2-4} = -j 0,143 \left( \frac{100000}{\sqrt{3} \cdot 500} \right) = -j 16,5 \text{ A}$$

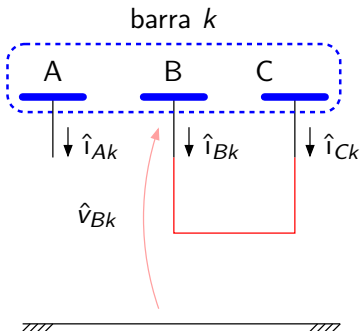
$$\hat{I}_{C2-4} = -j 0,143 \left( \frac{100000}{\sqrt{3} \cdot 500} \right) = -j 16,5 \text{ A}$$

### 4.3. Cálculo de curto-circuito monofásico (fase-terra)

#### Exercícios propostos

5 , 8(e)-8(g)

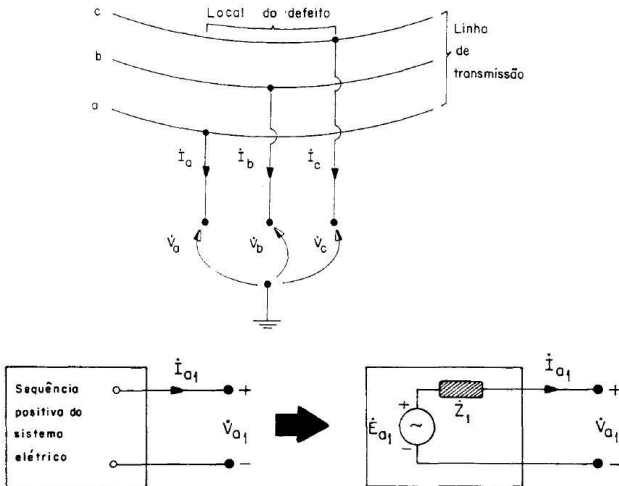
#### 4.4. Curto-circuito bifásico



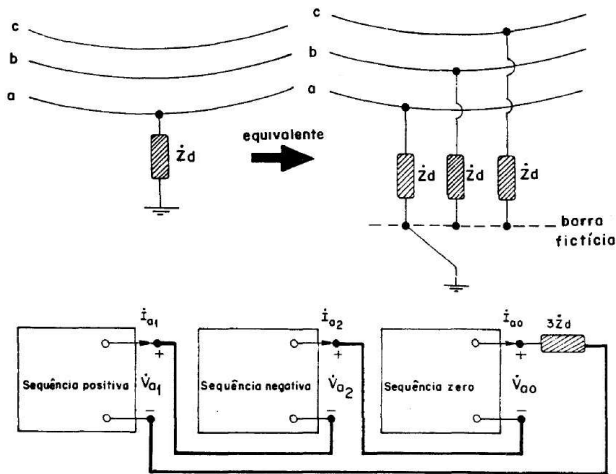
$$\begin{aligned}\hat{i}_{Ak} &= 0 \\ \hat{i}_{Bk} &= -\hat{i}_{Ck} \\ \hat{v}_{Bk} &= \hat{v}_{Ck}\end{aligned}$$

⋮

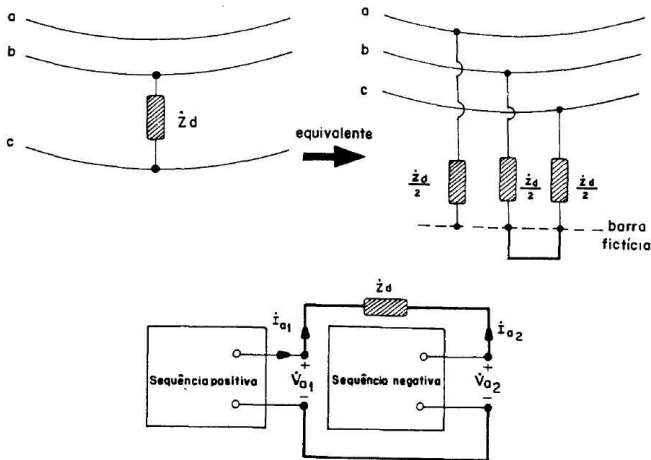
## Situação pré-falta (operação normal)



## Curto-circuito fase-terra

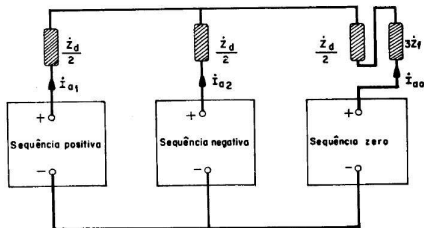
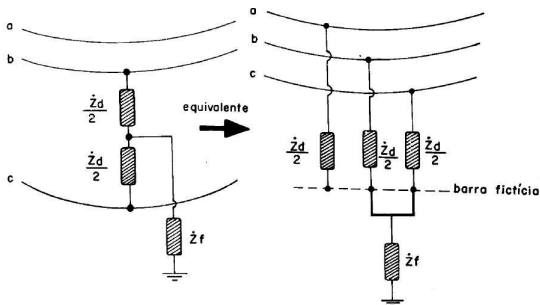


## Curto-circuito fase-fase

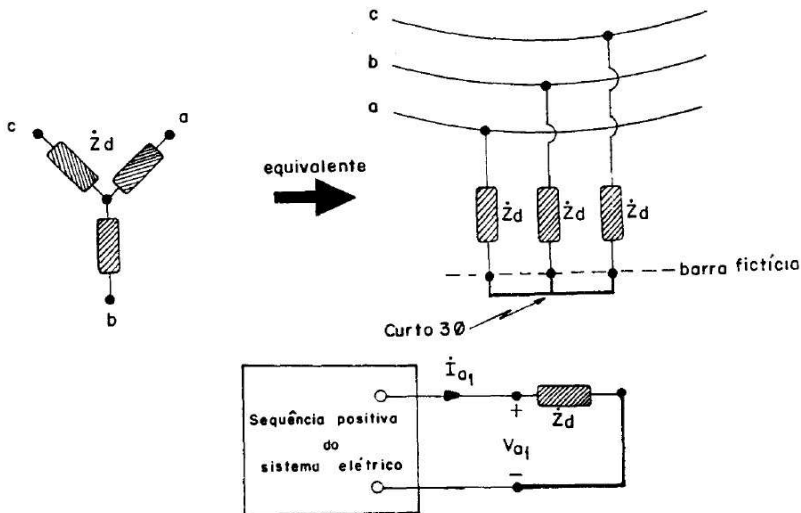




## Curto-circuito fase-fase-terra



## Curto-circuito trifásico



- Walmir Freitas, Notas de aula de ET720, FEEC/UNICAMP, 2018.
- J.J. Grainger, W.D. Stevenson, Power system analysis, McGraw-Hill, 1994.
- L.C. Zanetta, Fundamentos de sistemas elétricos de potência, Livraria da Física, 2005.
- O.I. Elgerd, Introdução à teoria de sistemas de energia elétrica, McGraw-Hill, 1981.
- F. Sato, W. Freitas, Análise de curto-circuito e princípios de proteção em sistemas de energia elétrica – fundamentos e prática, Elsevier, 2015.

- G. Kindermann, Curto-circuito, UFSC, 2007.
- F.V. Gomes, Análise de Sistemas Elétricos de Potência 1, Notas de aula, UFJF.